

**BOLETÍN N°575**

**MES: MARZO**

**AÑO 2026**

**INFORMACIÓN  
PLUVIOMÉTRICA,  
FLUVIOMÉTRICA, ESTADO DE  
EMBALSES  
Y AGUAS SUBTERRÁNEAS.**

**CONTENIDO:**

- 1. RESUMEN SITUACIÓN HIDROLÓGICA**
- 2. RESUMEN DE TABLAS Y GRÁFICOS, POR VARIABLE, ASOCIADAS A LAS ESTACIONES MÁS REPRESENTATIVAS CONTROLADAS**
  - 2.1 PLUVIOMETRÍA**
  - 2.2 FLUVIOMETRÍA**
  - 2.3 EMBALSES**
  - 2.4 AGUAS SUBTERRÁNEAS**

**Nota: Datos provisionales sujetos a modificación**

**SSD N°: 20078552**



## INTRODUCCIÓN

La Dirección General de Aguas (D.G.A.) pone a disposición su **Boletín Mensual de Información Hidrométrica**, que consolida los datos operativos de su red de monitoreo hidrológico crítica. Este documento proporciona información de cobertura nacional y carácter sintético, ofreciendo una visión integral de la situación hidrométrica con resolución temporal mensual y acumulada anual hasta la fecha de emisión.

La red hidrométrica se compone de una infraestructura distribuida de puntos de medición, que incluye estaciones fluviométricas, meteorológicas, nivométricas y piezométricas, además de incorporar los volúmenes almacenados en los principales embalses del país. Todos estos datos son generados, recopilados y mantenidos por este Servicio en el **Banco Nacional de Aguas (BNA)**.

Para acceder a un mayor nivel de detalle o realizar consultas técnicas sobre los datos presentados, se recomienda visitar el portal institucional de la D.G.A. en [www.dga.cl](http://www.dga.cl), específicamente las plataformas denominadas Sistema Nacional de Información del Agua (SNIA) y el Sistema Hidrométrico en Línea. Es importante destacar que los valores publicados en este boletín son de carácter provisional, al tratarse de datos brutos no validados, los cuales se encuentran disponibles de forma permanente en los sistemas digitales antes mencionados."



## I RESUMEN SITUACIÓN HIDROLÓGICA AL MES DE MARZO DE 2026

### Precipitaciones

Durante marzo de 2026 se registraron diversos eventos de precipitaciones en gran parte del país, con mayor recurrencia en las zonas sur y austral, principalmente durante los primeros días, el periodo intermedio y la última parte del mes analizado. En el extremo norte, las precipitaciones se iniciaron a partir del 25 de marzo y se extendieron hasta fines de mes, mientras que en la zona centro-sur se concentraron en torno al día 20.

Como consecuencia de lo anterior, el país presentó condiciones de superávit pluviométrico en sectores del extremo norte, específicamente en localidades como Chapiquiña y Calama. En contraste, entre las regiones de Atacama y Coquimbo se mantuvo un déficit pluviométrico. En tanto, desde la región de Valparaíso hasta Magallanes se registraron condiciones de superávit de precipitaciones.

En el extremo norte, los eventos de precipitación estuvieron asociados a la influencia de la Alta de Bolivia (comúnmente conocida como invierno altiplánico), mientras que en la zona central y sur del país las precipitaciones se debieron principalmente al paso de sistemas frontales, en conjunto con la presencia de ríos atmosféricos.


Al comparar los registros de marzo de 2026 (curva azul) con los observados en marzo de 2025 (curva verde), se evidencia que durante 2026 los montos de precipitación se ubicaron mayoritariamente por sobre los registrados el año anterior (Figura 2.1).

### Cartas Sinópticas

Se realizó un análisis sinóptico tomando los datos de reanálisis de NCEP Climate Forecast System Version 2 (CFSv2), Saha, S., et al. 2011, seleccionando una muestra horaria de cuatro eventos importantes de precipitación ocurridos durante marzo de 2026. Las fechas aproximadas de estos eventos son las siguientes:

- 1 al 3 de marzo
- 14 al 17 de marzo
- 18 al 23 de marzo
- 28 al 31 de marzo

La elección de las muestras (Figura 2.4) responde a un criterio subjetivo, priorizando la representación de las variables seleccionadas y su asociación con los registros de precipitación de la red hidrometeorológica de la Dirección General de Aguas (DGA). Este análisis tiene como objetivo visualizar el agua precipitable (PWAT) aportado al continente, los sistemas de baja presión (PRMSL) y temperatura asociados (Temp) y el comportamiento de los vectores de viento (UV), evidenciando la intensidad de los fenómenos meteorológicos.



## Evento del 1 al 3 de marzo

Durante este período se observó la presencia de una baja térmica, combinada con una baja segregada en fase madura. Esto se evidencia en las cartas de geopotencial PRMSL y Z500, donde la baja aparece delimitada por la línea de contorno de 5800 m. Dicho sistema pudo haber favorecido el transporte de vapor de agua desde la costa peruana hacia la costa chilena, lo cual se aprecia en la carta PWAT, donde los colores verdes indican un aumento del contenido de agua precipitable sobre la zona central del país. Esta configuración atmosférica habría sido determinante en el desarrollo de las precipitaciones registradas en la región.

Adicionalmente, en superficie se observa una disminución de la presión respecto a su entorno, destacada por el área de tonos verdes ubicada por delante de la baja segregada. Por su parte, la carta de viento UV y temperatura muestra que, en la costa de Chile central, los vectores de viento provienen predominantemente desde el sur, mientras que en latitudes correspondientes a la Patagonia chilena se identifica una circulación ciclónica, señalando la aproximación de un sistema frontal hacia las regiones australes del país.

## Evento del 14 al 17 de marzo

En la carta PRMSL y Z500 se identificó una vaguada en altura con orientación norte-sur, prácticamente paralela a la costa de Chile en sentido longitudinal. Por delante de este eje, en superficie, se observan bajas presiones, representadas por tonalidades azules, las cuales complementan la dinámica asociada a la vaguada y favorecen el ascenso del aire.


Adicionalmente, en la carta PWAT se aprecia un sistema frontal alimentado por un río atmosférico, responsable de las precipitaciones registradas desde la Región del Biobío hasta la Región de Aysén. Este río atmosférico se origina a partir del transporte de agua precipitable desde el Pacífico occidental, cuyo flujo es potenciado por la circulación ciclónica evidenciada en los vectores de viento de la carta de UV y Temperatura, los cuales muestran rotación ciclónica alrededor del centro de baja presión en superficie.

Esta configuración sincrónica entre la vaguada en altura, las bajas presiones superficiales y el aporte de humedad proveniente del Pacífico permitió el desarrollo y mantenimiento del sistema frontal, así como de las precipitaciones asociadas en el sur de Chile.

## Evento del 18 al 23 de marzo

Durante el tercer evento, se registraron chubascos intensos y tormentas eléctricas asociados a la presencia de una vaguada de onda corta de marcada intensidad, ubicada frente a la zona centro-norte de Chile. Este sistema avanzó ligeramente hacia el continente, mostrando geopotenciales del orden de 5600 a 5800 m, y persistió en el Pacífico suroriental según lo evidenciado en la carta Z500. La configuración en altura favoreció un marcado ascenso del aire y la inestabilidad necesaria para el desarrollo de convección profunda.

El aporte de humedad fue igualmente significativo. La carta PWAT muestra cerca de 30 kg/m<sup>2</sup> de agua precipitable, extendiéndose desde la costa peruana hacia el norte y centro de Chile, lo que indica un importante arrastre de vapor de agua desde el Pacífico oriental. Este transporte estuvo reforzado por la circulación ciclónica observada en los vectores de viento de la carta UV y Temperatura, los cuales muestran rotación alrededor de un centro de baja presión superficial.



En conjunto, estos factores termodinámicos y dinámicos generaron las condiciones propicias para la formación de nubes convectivas, chubascos intensos y actividad eléctrica.

En cuanto a la situación en el sur del país, se identificó la aproximación de un río atmosférico, también visible en la carta PWAT, concentrado principalmente entre las regiones de Los Lagos y Aysén. El contenido de humedad se caracterizó en torno a  $30 \text{ kg/m}^2$ , su presencia contribuyó al desarrollo de precipitaciones en esa zona. La carta Z500 muestra una vaguada frente a estas regiones, acompañada por un predominio de bajas presiones en superficie (expresadas en tonos azules). La información del viento indica un flujo predominantemente desde el norte, junto con circulación ciclónica frente a las costas australes, lo que confirmó la llegada de un sistema frontal asociado al río atmosférico.

#### Evento del 28 al 31 de marzo

Durante el tercer evento, se registraron chubascos intensos y tormentas eléctricas asociados a la presencia de una vaguada de onda corta de marcada intensidad, ubicada frente a la zona centro-norte de Chile. Este sistema avanzó ligeramente hacia el continente, mostrando geopotenciales del orden de 5600 a 5800 m, y persistió en el Pacífico suroriental según lo evidenciado en la carta Z500. La configuración en altura favoreció un marcado ascenso del aire y la inestabilidad necesaria para el desarrollo de convección profunda.

El aporte de humedad fue igualmente significativo. La carta PWAT muestra cerca de  $30 \text{ kg/m}^2$  de agua precipitable, extendiéndose desde la costa peruana hacia el norte y centro de Chile, lo que indica un importante arrastre de vapor de agua desde el Pacífico oriental. Este transporte estuvo reforzado por la circulación ciclónica observada en los vectores de viento de la carta UV y Temperatura, los cuales muestran rotación alrededor de un centro de baja presión superficial. En conjunto, estos factores termodinámicos y dinámicos generaron las condiciones propicias para la formación de nubes convectivas, chubascos intensos y actividad eléctrica.

En cuanto a la situación en el sur del país, se identificó la aproximación de un río atmosférico, también visible en la carta PWAT, concentrado principalmente entre las regiones de Los Lagos y Aysén. El contenido de humedad se caracterizó en torno a  $30 \text{ kg/m}^2$ , su presencia contribuyó al desarrollo de precipitaciones en esa zona. La carta Z500 muestra una vaguada frente a estas regiones, acompañada por un predominio de bajas presiones en superficie (expresadas en tonos azules). La información del viento indica un flujo predominantemente desde el norte, junto con circulación ciclónica frente a las costas australes, lo que confirmó la llegada de un sistema frontal asociado al río atmosférico.



## Caudales

Durante el mes de marzo de 2026, la mayoría de los cauces monitoreados por la Dirección General de Aguas (DGA) evidenció incrementos en sus caudales. Donde, 18 de las 29 estaciones analizadas registraron alzas respecto del mes anterior, con un aumento promedio del 174%. En contraste, 11 estaciones presentaron disminuciones, las que alcanzaron en promedio un 24% en comparación con febrero de 2026.

Al desagregar los resultados por zona geográfica, en el Norte Grande, la región de Atacama presentó un comportamiento deficitario, destacando el río Copiapó cuyo caudal disminuyó un 38%. En el Norte Chico, que comprende las regiones de Coquimbo y Valparaíso, se observó un comportamiento mixto. Por una parte, *río Elqui Algarrobal* (Región de Coquimbo) registró el principal descenso de la zona, con una disminución del 13%. Por otra parte, *río Sobrante en Piñadero* (Región de Valparaíso) presentó un aumento del 23% respecto del mes anterior. En el tramo comprendido entre el sector sur de la región de Valparaíso y la región de O'Higgins, las disminuciones de caudal alcanzaron en promedio un 27%. Destacando *río Cachapoal en Puente Termas*, con una reducción del 45%, seguido por el *río Mapocho en Los Almendros*, que registró un 29% menos de agua pasante. En contraste, desde la región del Maule hasta Magallanes (zonas centro-sur y austral), la totalidad de los cauces monitoreados presentaron incrementos en sus caudales durante marzo, con un aumento promedio del 207% en relación con febrero. La única excepción fue el *río Paine en Parque Nacional*, que registró una disminución del 40%.

Al comparar los caudales medios mensuales de marzo de 2026 con los registrados en igual mes del año 2025, se observó que entre las regiones de Atacama y O'Higgins se produjo una disminución promedio del 37%, destacando *río Copiapó* con una baja del 66%, seguido de *río Hurtado* con un 60% menos de caudal. Mientras que, en las zonas centro-sur y austral se produjeron aumentos que promediaron un 93%, presentándose para esta área solo el descenso en *río Paine*, con una variación negativa del 14%. El mayor incremento interanual se observó en el *río Perquillauquén*, con un aumento del 298%.

Respecto del comportamiento de los caudales en relación al promedio histórico (1991–2020), el análisis a nivel nacional indica que, entre las regiones de Atacama y área norte de la región del Maule, las estaciones presentaron valores inferiores a sus referencias históricas, configurando un déficit promedio del 51% en esta macrozona. Las mayores brechas se concentraron entre las regiones de Atacama y Coquimbo, donde el déficit promedio alcanzó un 66%. Por el contrario, entre las regiones del Maule y Magallanes se registraron caudales superiores al promedio histórico, con un aumento promedio del 62%. En este tramo, solo dos estaciones mostraron una tendencia negativa: *río Cisnes*, con un déficit del 37%, y *río Paine*, con una disminución del 31%.

Finalmente, en relación con los caudales mínimos históricos para el mes de marzo, el 83% de los cauces monitoreados por la DGA presentó valores superiores a dichos registros mínimos. En contraparte, cinco estaciones, equivalentes al 17% de los puntos analizados, se situaron por debajo de sus mínimos históricos. En este contexto, destaca *río Elqui en Algarrobal* (Región de Coquimbo), que registró un déficit del 39% respecto de su caudal mínimo histórico para este mes.

## Embalses

Durante marzo de 2026, los embalses registraron un descenso del 5,4% en comparación con febrero del mismo año. Al desglosar por tipo de embalse, se observa que aquellos destinados a "Agua Potable", "Solo Generación", "Solo Riego" y "Generación y Riego" experimentaron una disminución del 9,4%, 6,1%, 6,1% y 3,8% respectivamente.

Al comparar el volumen total embalsado actualmente en el país, se observa que en la actualidad alcanza los 4.551 mill-m<sup>3</sup>, mientras que en marzo 2025 fue de 5.567 mill-m<sup>3</sup>, lo anterior representa una disminución interanual del 18,3% en el volumen de agua almacenada. Al desglosar, y en orden decreciente, los embalses que presentan un mayor descenso en su volumen corresponden a los embalses mixtos (*Generación y Riego*) con un 34,4%, continuados por los embalses destinados a "Agua Potable" con un 15,2%, los embalses destinados a "Riego" con un 13,5% y finalmente los embalses empleados para "Solo Generación" con un 0,3% respecto al mismo periodo del año anterior.

En cuanto a los promedios históricos (periodo comprendido entre los años 1991-2020), los embalses presentan a la fecha una disminución en volumen del 18,9%. Al desagregar por tipo de embalse, y en orden decreciente, los embalses destinados a "Riego" registran el mayor porcentaje de descenso en su almacenamiento respecto al promedio con un 60,3%, seguidos por los embalses mixtos de "Generación y Riego" con un 24,6% y los embalses destinados a "Agua Potable" con un 15,3%. Por el contrario, los embalses destinados a "Solo Generación" presentan un volumen del 7,1% superior al promedio histórico.

Actualmente, el volumen embalsado alcanza el 35,2% de la capacidad total a nivel nacional, lo que representa una disminución de 1,9 puntos porcentuales respecto del mes pasado. Al desglosar la información por tipo de embalse en orden decreciente, se observa que los embalses destinados en exclusiva a "Generación" muestran la mayor capacidad almacenada, alcanzando el 63,1% de su capacidad, seguidos por los destinados sólo a "Agua Potable" con un 58,3%. En menor proporción, los embalses "Mixtos" (Generación y Riego) y solo a "Riego" registran niveles de almacenamiento del 25,1% y 18,8%, respectivamente, de su capacidad máxima.

A continuación, se proporciona un cuadro que detalla las variaciones experimentadas por los embalses durante el mes de marzo, clasificados según su uso. Los valores negativos reflejan disminución en el volumen almacenada o situaciones deficitarias.

**TABLA 1.1**

### VARIACIÓN DE LOS VOLÚMENES DE EMBALSES PARA MARZO-2026

Tipo de Embalses	Volumen Actual Mill-m <sup>3</sup>	Porcentaje respecto del Promedio*	Porcentaje Almacenado de su máxima capacidad	Variación Porcentual respecto a:	
				Mes Anterior	Año Pasado
Solo Riego	399	-60,3%	18,8%	-6,1%	-13,5%
Generación y Riego	1.741	-24,6%	25,1%	-3,8%	-34,4%
Solo Generación	2.207	7,1%	63,1%	-6,1%	-0,3%
Agua Potable	204	-15,3%	58,3%	-9,4%	-15,2%
<b>Total</b>	<b>4.551</b>	<b>-18,9%</b>	<b>35,2%</b>	<b>-5,4%</b>	<b>-18,3%</b>

(\*) Promedio correspondiente al período 1991 – 2020



## **Aguas Subterráneas.**

Las mediciones realizadas durante marzo de 2026 en la región de Arica y Parinacota, acuífero Quebrada de La Concordia, sector La Concordia, muestran 4 centímetros de descenso en el nivel de aguas subterráneas, respecto al mes de febrero. En contraste, para el mismo período, el acuífero Río Lluta, en el sector Lluta Bajo, registra un ascenso de 30 centímetros. El acuífero Río San José, sector Valle de Azapa, presenta un comportamiento similar, con 10 centímetros de recuperación.

En la región de Tarapacá, el acuífero Pampa del Tamarugal, sector Pampa del Tamarugal, presenta descensos de 4 y 1 centímetros en Pozo Almonte y Salar Bellavista, respectivamente.

Para la región de Antofagasta, el acuífero Río Loa, sector Calama, presenta 1 centímetro de ascenso en Salar Brinkerhoff, mientras que, en el sector Vegas de Turi, se registran variaciones de ascenso y descenso de 1 a 2 centímetros, manteniendo una tendencia estable.

En la región de Atacama, el acuífero Río Copiapó, sector Aguas Arriba de Embalse Lautaro, presenta 13 centímetros de profundización respecto a febrero de 2026. En comparación, el sector Piedra Colgada/Angostura registra 30 centímetros de ascenso. Durante el mismo período, en el acuífero Huasco, sector Freirina Bajo, se observan 4 centímetros de descenso.

Para la región de Coquimbo, el acuífero Río Los Choros, sector Los Choros Altos, presenta 10 centímetros de ascenso, respecto al mes de febrero de 2026. Por otro lado, el acuífero Elqui, sector Elqui Alto, presenta 12 centímetros de descenso durante marzo de 2026. En el mismo período, el acuífero Pan de Azúcar, sector Culebrón, presenta 184 centímetros de descenso. En el acuífero Río Limarí, el sector Río Rapel, muestra un ascenso de 7 centímetros, mientras que los sectores Punitaqui y Río Limarí, presentan descensos de 18 y 21 centímetros, respectivamente. El acuífero Río Choapa, sector Choapa Medio, mantiene niveles estables entre febrero y marzo de 2026.

En la región de Valparaíso, el acuífero Río La Ligua, sector Río La Ligua Costa, presenta 23 centímetros de ascenso en el nivel de agua subterránea. Desigual comportamiento se observa en el acuífero Río Aconcagua, sectores Nogales/Hijuelas y Aconcagua Desembocadura, donde se registraron 62 y 49 centímetros de profundización del nivel estático, respectivamente.

En la región Metropolitana, el acuífero Río Maipo, sector Chacabuco Polpaico, presenta un descenso de 29 centímetros, respecto a las mediciones realizadas en febrero de 2026.

Para la región de O'Higgins, en el acuífero Río Rapel, sectores Doñihue/Coinco/Coltauco y Tinguririca Superior, se registraron descensos de 8 y 28 centímetros, respectivamente.

En la región del Maule, el acuífero Río Mataquito, sector Teno Lontué presenta 3 centímetros de descenso. En tanto, en el acuífero Río Maule, sector Maule Medio Sur, el nivel subió 22 centímetros, ambos durante marzo de 2026.

En la región de Ñuble, el acuífero Río Itata, sector Ñuble, presenta 315 centímetros de ascenso entre febrero y marzo de 2026.

En marzo de 2026, en la región del Biobío, el acuífero Río Biobío, sector Tavoleo, no tuvo variaciones de nivel, mientras que en el sector Biobío Medio, se registran 5 centímetros de ascenso.



En la región de La Araucanía, el acuífero Río Imperial, sector Ríos Colpi Quillén, registra 22 centímetros de ascenso, completando 3 meses de tendencia a la recuperación del nivel de agua subterránea. Por otro lado, el acuífero Río Toltén, sector Toltén Alto, presenta 84 centímetros de ascenso durante marzo de 2026.

En la región de Los Ríos, el acuífero Río Valdivia, sector Río Cruces, presenta un ascenso de 37 centímetros en el nivel freático. En el acuífero Río Bueno, sector Bueno Medio, se observan 25 centímetros de recuperación, ambos durante marzo de 2026.

En la región de Los Lagos, el sector Rahue del acuífero Río Bueno, presenta 89 centímetros de descenso, mientras que el acuífero Costeras Norte X, sector Maullín, tiene una profundización de 5 centímetros entre los meses de febrero y marzo de 2026.

## II. RESUMEN DE TABLAS Y GRÁFICOS, POR VARIABLE, ASOCIADAS A LAS ESTACIONES MÁS REPRESENTATIVAS CONTROLADAS

### 2.1.- PLUVIOMETRÍA

Tabla 2.1.-Totales al 31 de marzo de 2026

Estaciones	Marzo	Acumulada a la fecha		Promedio 1991-2020 [mm]	Exceso o Déficit %
		2026 [mm]	2025 [mm]		
Chapiquiña	16.3	152.8	304.0	141.0	8
Emb. Conchi	0.0	11.6	13.9	17.6	-35
Calama	0.0	6.0	0.8	1.7	>100
Antofagasta	0.2	0.4	0.0	1.1	-64
Copiapo	0.0	0.0	0.0	2.0	-100
Emb. Lautaro	0.0	0.0	0.0	4.4	-100
Vallenar	0.0	0.0	0.0	2.9	-100
Rivadavia	0.0	0.0	0.0	3.0	-100
Vicuña	0.0	0.3	0.0	2.4	-88
La Serena	0.0	1.2	0.0	1.5	-20
Ovalle	0.0	0.0	0.0	1.7	-100
Emb. Paloma	0.0	0.1	0.1	2.1	-96
Cogotí 18	0.0	0.1	0.0	4.1	-98
Huintil	1.7	1.8	0.0	3.2	-44
Coirón	0.3	1.3	0.1	3.3	-61
Vilcuya	1.4	5.4	2.0	8.9	-40
San Felipe	7.4	7.6	2.1	4.1	85
Lago Peñuelas	7.4	9.0	7.9	5.8	55
Emb. El yeso	27.8	87.4	8.3	23.7	>100
Cerro Calán	9.8	21.8	7.6	9.7	>100
Santiago (MOP)	9.0	16.7	4.5	6.8	>100
Rancagua	9.8	11.4	16.6	7.5	52
San Fernando	75.0	77.0	20.0	9.7	>100
Convento Viejo	83.7	84.1	24.8	12.9	>100
Curicó	80.7	80.7	26.2	14.4	>100
Talca	75.9	75.9	16.8	18.9	>100
Colorado	167.6	170.1	0.0	41.7	>100
Linares	82.7	83.1	24.2	30.5	>100
Parral	155.3	156.0	45.8	43.3	>100
Emb. Digua	170.5	171.3	48.0	59.1	>100
Chillán	178.9	192.6	45.0	48.5	>100
Concepción	91.6	107.2	39.6	60.1	78
Los Angeles	87.0	116.8	24.9	64.4	81
Cañete	129.8	172.6	75.6	84.0	>100
Angol	120.1	146.0	16.4	52.5	>100
Temuco	172.2	225.5	108.2	107.0	>100
Valdivia	288.2	409.5	233.7	172.9	>100
Osorno	157.5	228.9	118.1	143.9	59
Puerto Montt	234.2	319.8	167.5	293.0	9
Coyhaique	102.8	168.4	165.5	149.4	12
Punta Arenas	138.8	196.7	147.6	127.3	54

Promedios acumulados para el período 1991-2020 (D.G.A)  
Valores expresados en milímetros (1 mm = 1 lt x m<sup>2</sup>)

FIGURA 2.1.1

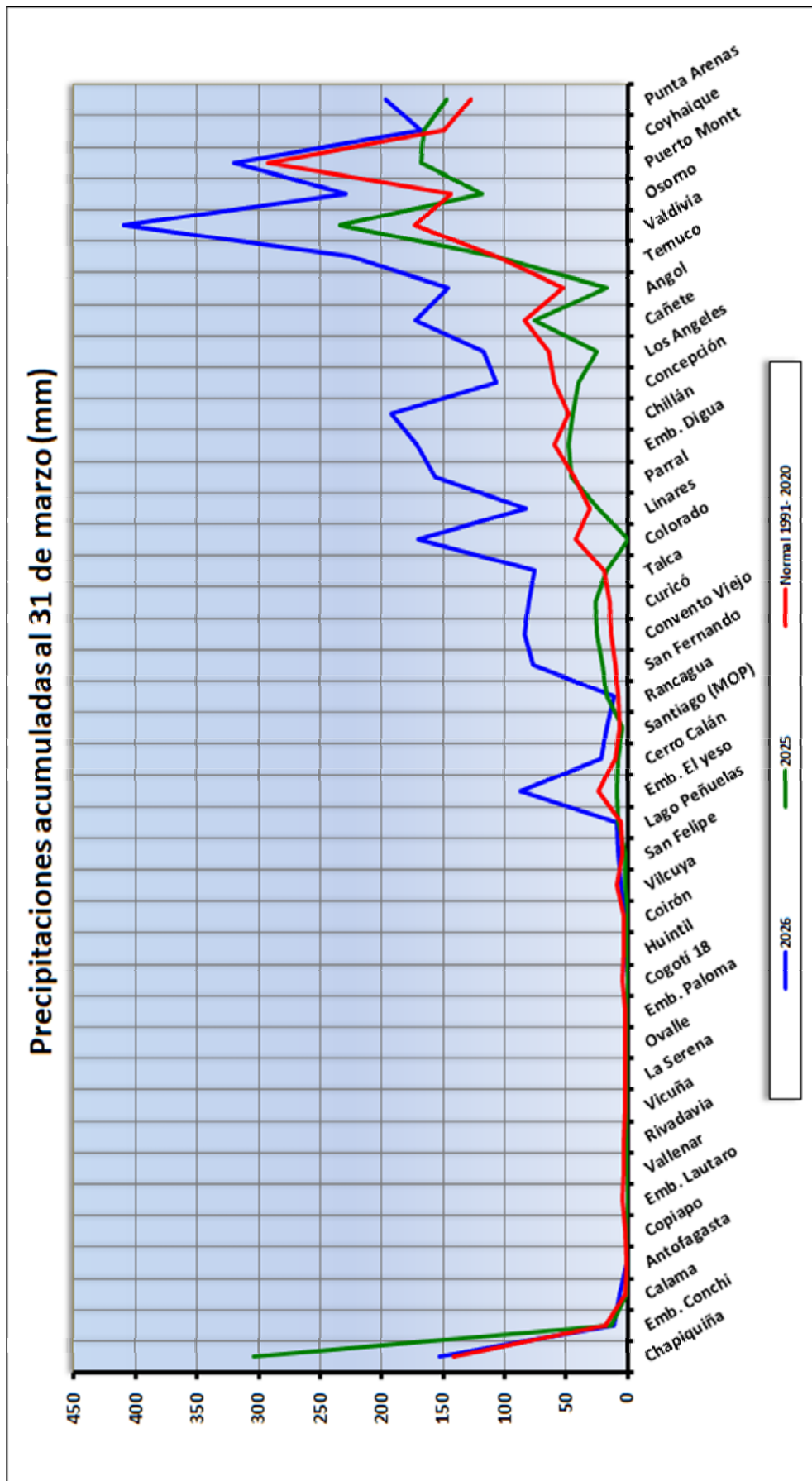
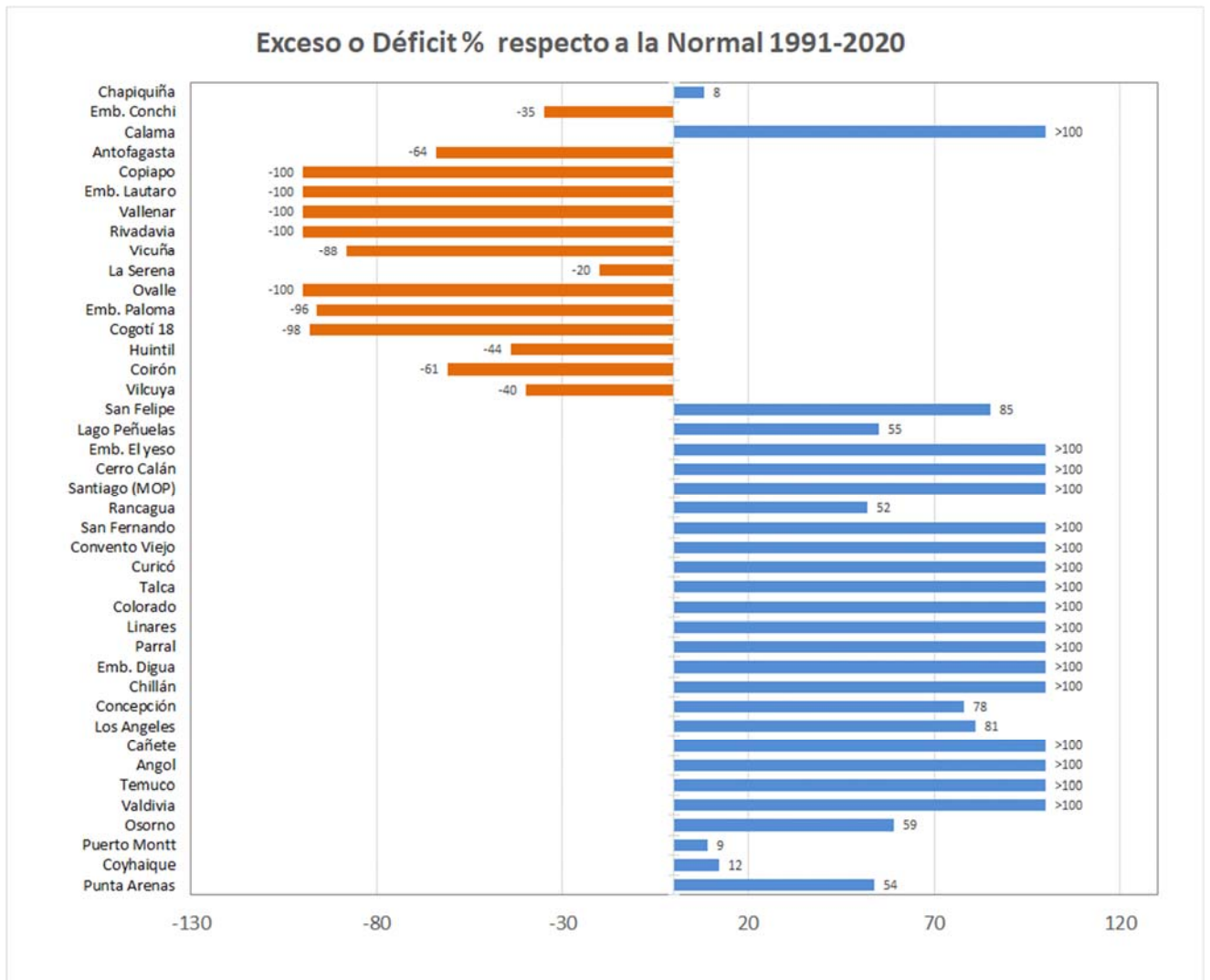
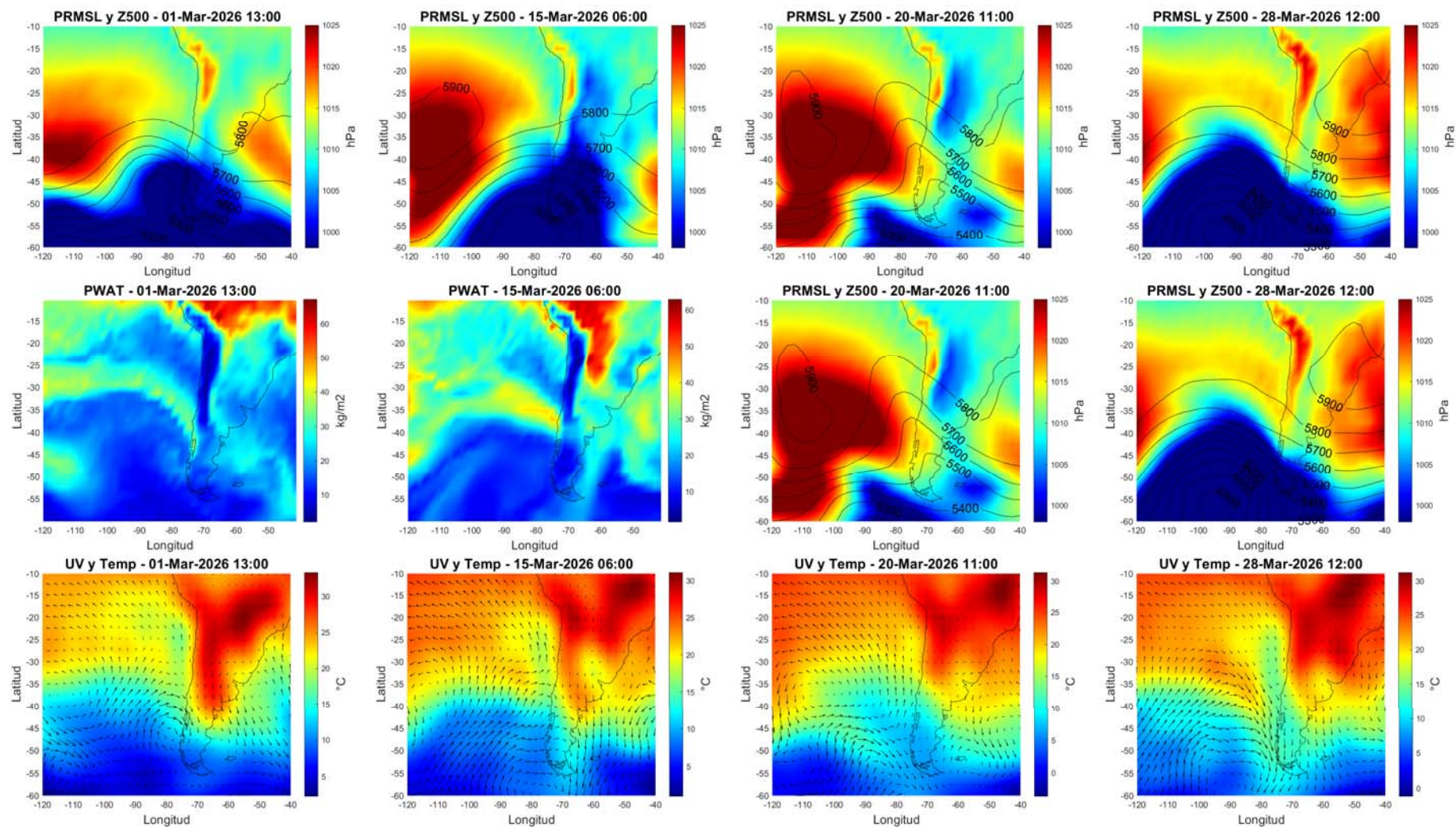


FIGURA 2.1.2



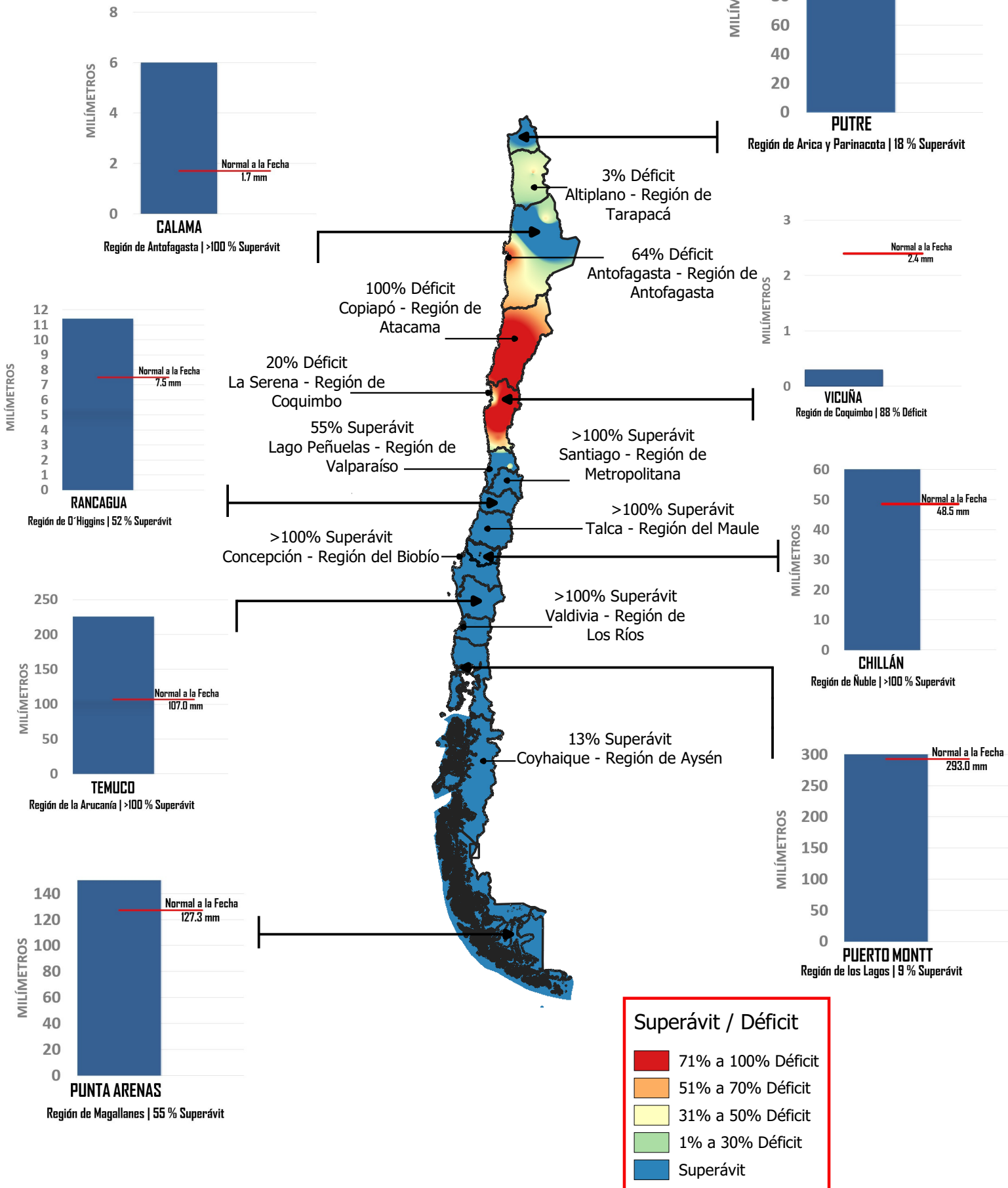
**FIGURA 2.1.3**



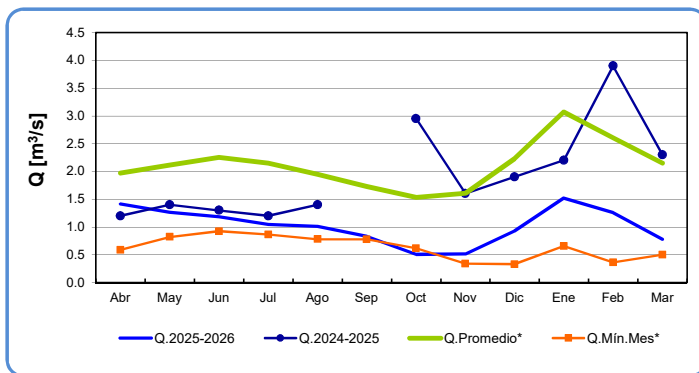
Cartas Sinópticas. En primera fila se muestran mapas de altura geopotencial a 500 hPa (Z500) en contorno y presión reducida a nivel del mar (PRMSL) en colores, segunda fila agua precipitable (pwat) y tercera fila componentes meridional y zonal del viento (u y v) como vectores y temperatura en superficie (Temp) en colores. Cada columna representa una hora de muestra de un día asociado a un evento de precipitaciones ocurrido durante marzo 2026. Datos obtenidos desde Saha, S., et al. 2011.

Bibliografía Saha, S., et al. (2011). NCEP Climate Forecast System Version 2 (CFSv2) Selected Hourly Time-Series Products (Updated monthly) [Dataset]. Research Data Archive at the National Center for Atmospheric Research, Computational and Information Systems Laboratory.

**Precipitaciones acumuladas a marzo de 2026, en comparación con el promedio histórico para el mismo mes entre los años 1991-2020**

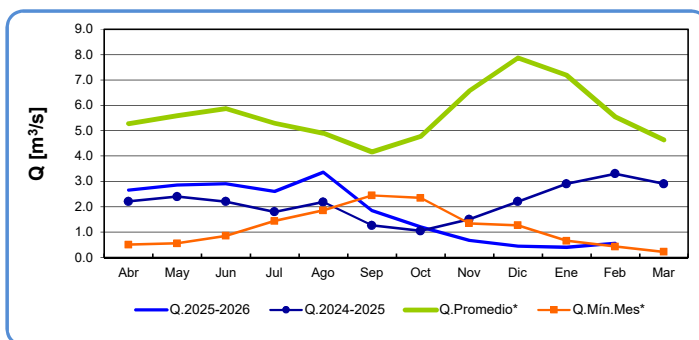


Río Copiapó en Pastillo



	Abr	May	Jun	Jul	Ago	Sep	Oct	Nov	Dic	Ene	Feb	Mar
<b>Q.2025-2026</b>	1.4	1.3	1.2	1.0	1.0	0.8	0.5	0.5	0.9	1.5	1.3	0.8
<b>Q.2024-2025</b>	1.2	1.4	1.3	1.2	1.4		3.0	1.6	1.9	2.2	3.9	2.3
<b>Q.Promedio*</b>	2.0	2.1	2.3	2.1	1.9	1.7	1.5	1.6	2.2	3.1	2.6	2.1
<b>Q.Min.Mes*</b>	0.6	0.8	0.9	0.9	0.8	0.8	0.6	0.3	0.3	0.7	0.4	0.5

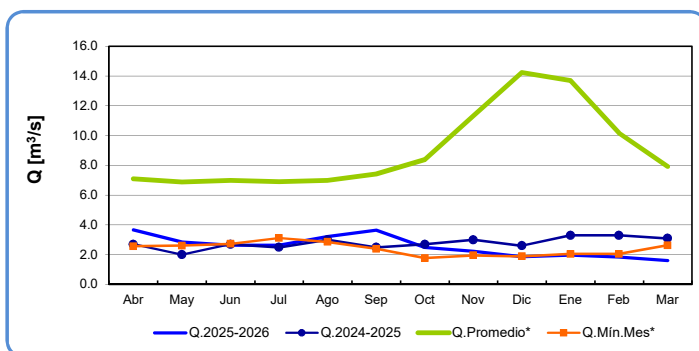
Río Huasco en El Maitén



	Abr	May	Jun	Jul	Ago	Sep	Oct	Nov	Dic	Ene	Feb	Mar
<b>Q.2025-2026</b>	2.7	2.9	2.9	2.6	3.4	1.9	1.2	0.7	0.4	0.4	0.6	(*)
<b>Q.2024-2025</b>	2.2	2.4	2.2	1.8	2.2	1.3	1.1	1.5	2.2	2.9	3.3	2.9
<b>Q.Promedio*</b>	5.3	5.6	5.9	5.3	4.9	4.2	4.8	6.6	7.9	7.2	5.5	4.6
<b>Q.Min.Mes*</b>	0.5	0.6	0.9	1.4	1.9	2.4	2.3	1.3	1.3	0.7	0.4	0.2

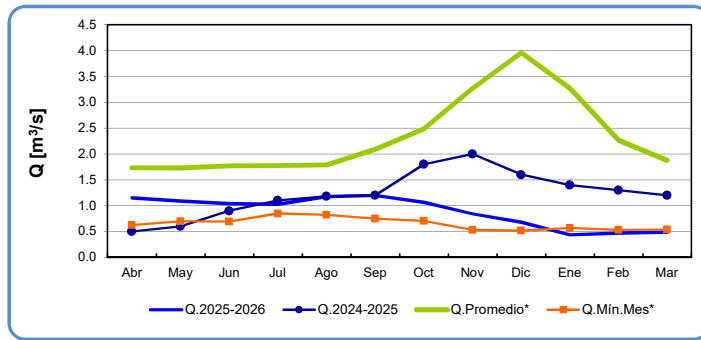
(\*) Limpieza de cauce

Río Elqui en Algarrobal



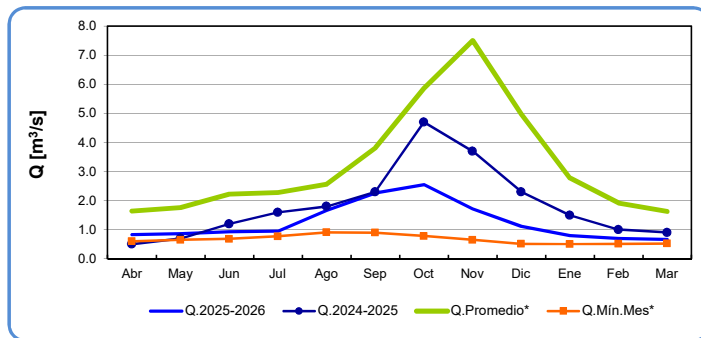
	Abr	May	Jun	Jul	Ago	Sep	Oct	Nov	Dic	Ene	Feb	Mar
<b>Q.2025-2026</b>	3.7	2.9	2.6	2.6	3.2	3.6	2.5	2.2	1.9	2.0	1.8	1.6
<b>Q.2024-2025</b>	2.7	2.0	2.7	2.5	3.0	2.5	2.7	3.0	2.6	3.3	3.3	3.1
<b>Q.Promedio*</b>	7.1	6.9	7.0	6.9	7.0	7.4	8.4	11.3	14.2	13.7	10.2	7.9
<b>Q.Min.Mes*</b>	2.6	2.6	2.7	3.1	2.9	2.4	1.8	2.0	1.9	2.1	2.1	2.6

Río Hurtado en San Agustín



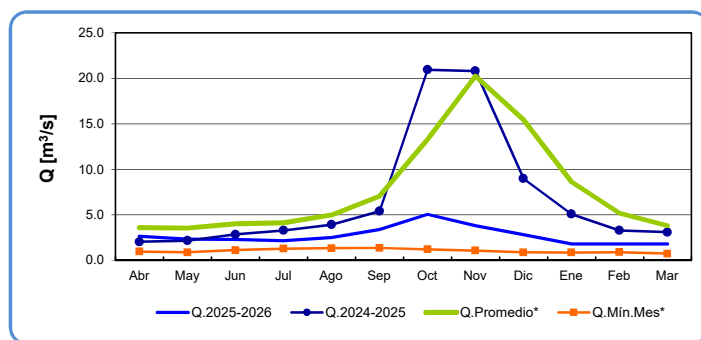
	Abr	May	Jun	Jul	Ago	Sep	Oct	Nov	Dic	Ene	Feb	Mar
<b>Q.2025-2026</b>	1.2	1.1	1.0	1.0	1.2	1.2	1.1	0.8	0.7	0.4	0.5	0.5
<b>Q.2024-2025</b>	0.5	0.6	0.9	1.1	1.2	1.2	1.8	2.0	1.6	1.4	1.3	1.2
<b>Q.Promedio*</b>	1.7	1.7	1.8	1.8	1.8	2.1	2.5	3.3	4.0	3.3	2.3	1.9
<b>Q.Min.Mes*</b>	0.6	0.7	0.7	0.8	0.8	0.8	0.7	0.5	0.5	0.6	0.5	0.5

Río Grande en Las Ramadas



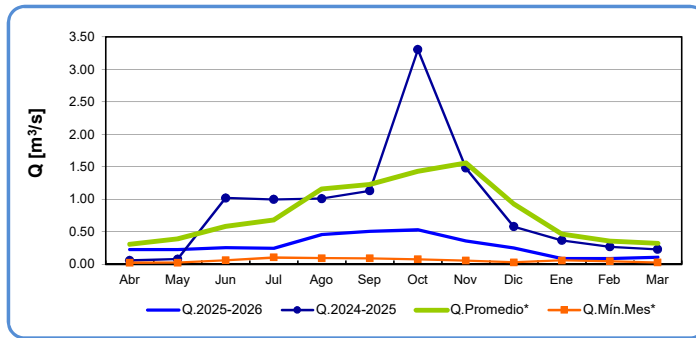
	Abr	May	Jun	Jul	Ago	Sep	Oct	Nov	Dic	Ene	Feb	Mar
<b>Q.2025-2026</b>	0.8	0.9	0.9	1.0	1.7	2.3	2.5	1.7	1.1	0.8	0.7	0.7
<b>Q.2024-2025</b>	0.5	0.7	1.2	1.6	1.8	2.3	4.7	3.7	2.3	1.5	1.0	0.9
<b>Q.Promedio*</b>	1.6	1.8	2.2	2.3	2.6	3.8	5.9	7.5	5.0	2.8	1.9	1.6
<b>Q.Min.Mes*</b>	0.6	0.7	0.7	0.8	0.9	0.9	0.8	0.6	0.5	0.5	0.5	0.5

Río Choapa en Cuncumén



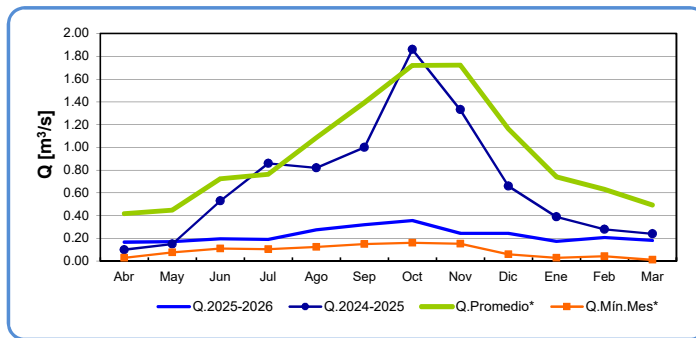
	Abr	May	Jun	Jul	Ago	Sep	Oct	Nov	Dic	Ene	Feb	Mar
<b>Q.2025-2026</b>	2.7	2.3	2.3	2.2	2.5	3.4	5.1	3.8	2.8	1.8	1.8	1.8
<b>Q.2024-2025</b>	2.1	2.2	2.9	3.3	3.9	5.4	20.9	20.8	9.0	5.1	3.3	3.1
<b>Q.Promedio*</b>	3.6	3.6	4.0	4.1	5.0	7.1	13.3	20.2	15.4	8.6	5.2	3.8
<b>Q.Min.Mes*</b>	1.0	0.9	1.1	1.3	1.4	1.4	1.2	1.1	0.9	0.9	0.9	0.8

Río Sobrante en Piñadero



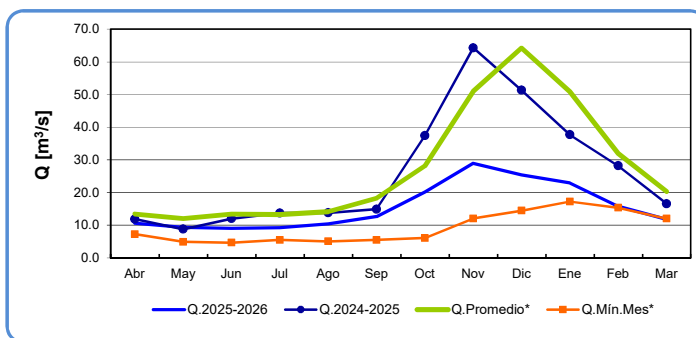
	Abr	May	Jun	Jul	Ago	Sep	Oct	Nov	Dic	Ene	Feb	Mar
<b>Q.2025-2026</b>	0.23	0.23	0.26	0.25	0.46	0.51	0.53	0.36	0.25	0.09	0.09	0.11
<b>Q.2024-2025</b>	0.06	0.08	1.02	1.00	1.01	1.13	3.30	1.48	0.58	0.37	0.27	0.23
<b>Q.Promedio*</b>	0.31	0.39	0.59	0.68	1.16	1.23	1.43	1.56	0.93	0.47	0.36	0.33
<b>Q.Min.Mes*</b>	0.03	0.03	0.06	0.11	0.10	0.09	0.08	0.06	0.03	0.06	0.05	0.03

Río Alicahue en Colliguay



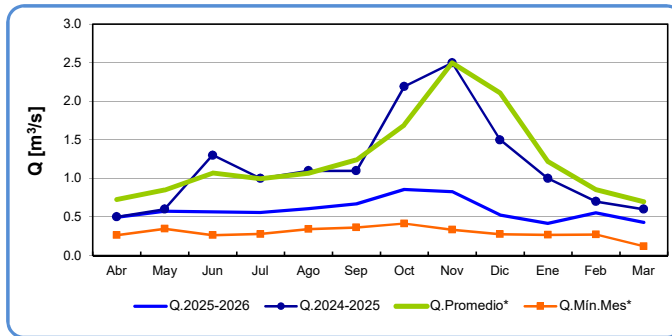
	Abr	May	Jun	Jul	Ago	Sep	Oct	Nov	Dic	Ene	Feb	Mar
<b>Q.2025-2026</b>	0.17	0.17	0.19	0.19	0.27	0.32	0.36	0.24	0.24	0.17	0.21	0.18
<b>Q.2024-2025</b>	0.10	0.15	0.53	0.86	0.82	1.00	1.86	1.33	0.66	0.39	0.28	0.24
<b>Q.Promedio*</b>	0.42	0.45	0.72	0.76	1.08	1.39	1.72	1.72	1.16	0.74	0.63	0.49
<b>Q.Min.Mes*</b>	0.03	0.08	0.11	0.11	0.12	0.15	0.16	0.15	0.06	0.03	0.04	0.01

Río Aconcagua en Chacabucuito



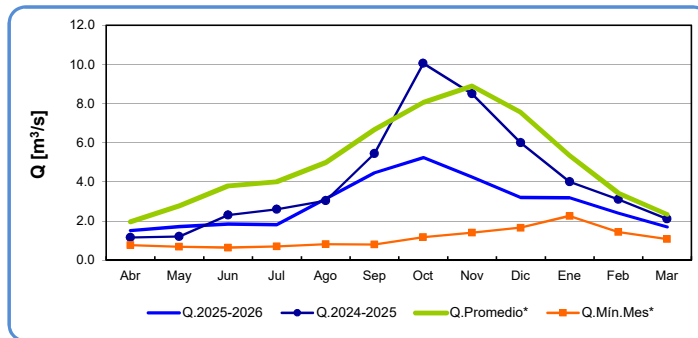
	Abr	May	Jun	Jul	Ago	Sep	Oct	Nov	Dic	Ene	Feb	Mar
<b>Q.2025-2026</b>	10.7	9.4	9.1	9.2	10.5	12.7	20.3	29.0	25.4	23.0	15.8	11.9
<b>Q.2024-2025</b>	11.9	8.8	12.0	13.8	13.8	14.9	37.4	64.3	51.3	37.7	28.2	16.6
<b>Q.Promedio*</b>	13.5	12.1	13.4	13.2	14.1	18.3	28.2	51.0	64.2	50.9	32.0	20.3
<b>Q.Min.Mes*</b>	7.3	4.9	4.7	5.5	5.1	5.5	6.1	12.1	14.5	17.3	15.4	12.1

**Estero Arrayán en la Montosa**



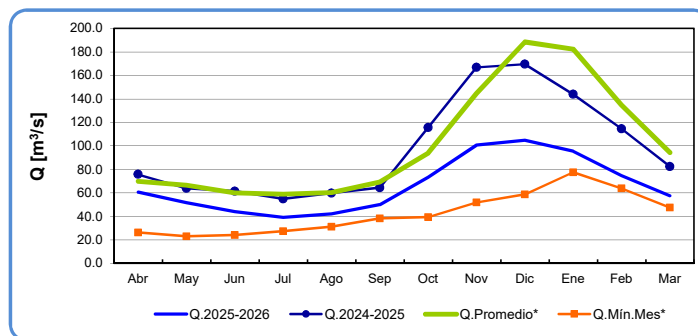
	Abr	May	Jun	Jul	Ago	Sep	Oct	Nov	Dic	Ene	Feb	Mar
<b>Q.2025-2026</b>	0.5	0.6	0.6	0.6	0.6	0.7	0.9	0.8	0.5	0.4	0.6	0.4
<b>Q.2024-2025</b>	0.5	0.6	1.3	1.0	1.1	1.1	2.2	2.5	1.5	1.0	0.7	0.6
<b>Q.Promedio*</b>	0.7	0.9	1.1	1.0	1.1	1.2	1.7	2.5	2.1	1.2	0.9	0.7
<b>Q.Min.Mes*</b>	0.3	0.3	0.3	0.3	0.3	0.4	0.4	0.3	0.3	0.3	0.3	0.1

**Río Mapocho en Los Almendros**



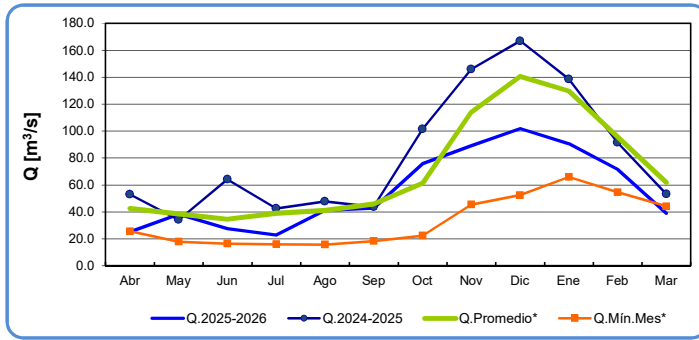
	Abr	May	Jun	Jul	Ago	Sep	Oct	Nov	Dic	Ene	Feb	Mar
<b>Q.2025-2026</b>	1.5	1.7	1.9	1.8	3.1	4.5	5.2	4.2	3.2	3.2	2.4	1.7
<b>Q.2024-2025</b>	1.2	1.2	2.3	2.6	3.0	5.5	10.1	8.5	6.0	4.0	3.1	2.1
<b>Q.Promedio*</b>	2.0	2.8	3.8	4.0	5.0	6.7	8.1	8.9	7.6	5.3	3.4	2.3
<b>Q.Min.Mes*</b>	0.8	0.7	0.6	0.7	0.8	0.8	1.2	1.4	1.7	2.3	1.4	1.1

**Río Maipo en El Manzano**



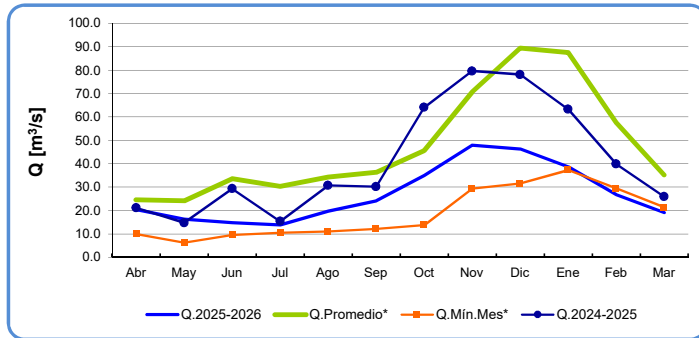
	Abr	May	Jun	Jul	Ago	Sep	Oct	Nov	Dic	Ene	Feb	Mar
<b>Q.2025-2026</b>	60.7	51.5	44.1	39.1	42.0	50.0	73.4	100.7	104.7	95.6	74.9	57.6
<b>Q.2024-2025</b>	75.7	63.9	61.4	54.9	59.9	64.5	115.7	166.8	169.6	144.0	114.5	82.3
<b>Q.Promedio*</b>	69.9	66.7	60.2	58.9	60.2	69.4	93.8	144.5	188.5	182.5	134.7	94.4
<b>Q.Min.Mes*</b>	26.2	23.0	24.1	27.4	31.2	38.2	39.3	51.9	58.7	77.6	63.8	47.6

Río Cachapual en Puente Termas (Reg.Nat.)



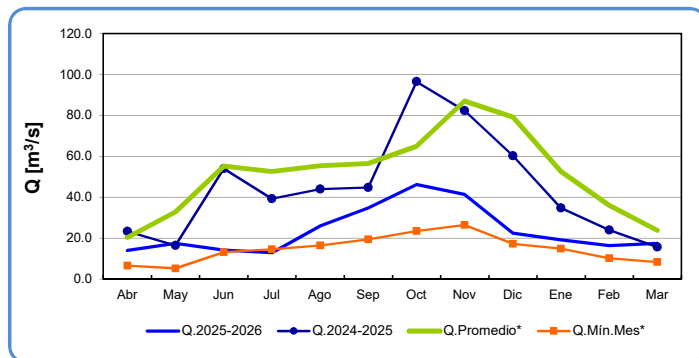
	Abr	May	Jun	Jul	Ago	Sep	Oct	Nov	Dic	Ene	Feb	Mar
<b>Q.2025-2026</b>	25.2	38.2	27.6	22.9	41.1	42.8	75.8	89.2	101.9	90.6	71.7	39.1
<b>Q.2024-2025</b>	52.9	34.1	64.1	42.6	47.8	43.7	101.4	146.0	167.0	138.7	91.4	53.3
<b>Q.Promedio*</b>	42.5	38.4	34.5	38.9	41.1	45.8	61.2	114.1	140.7	129.8	95.8	61.8
<b>Q.Min.Mes*</b>	25.7	17.8	16.4	16.0	15.7	18.3	22.4	45.4	52.4	65.9	54.6	44.2

Río Tinguiririca bajo Los Briones



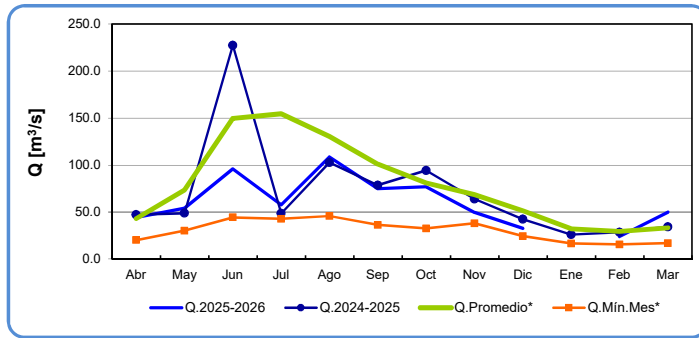
	Abr	May	Jun	Jul	Ago	Sep	Oct	Nov	Dic	Ene	Feb	Mar
<b>Q.2025-2026</b>	20.5	16.3	14.9	13.8	19.8	24.2	35.0	48.0	46.4	38.7	26.8	19.2
<b>Q.2024-2025</b>	21.2	14.8	29.4	15.5	30.8	30.2	64.2	79.7	78.2	63.3	39.9	26.0
<b>Q.Promedio*</b>	24.6	24.2	33.6	30.3	34.3	36.3	45.7	70.8	89.5	87.6	57.5	35.2
<b>Q.Min.Mes*</b>	10.0	6.3	9.6	10.5	11.0	12.1	13.8	29.3	31.6	37.3	29.5	21.4

Río Tenos después de Junta con Claro



	Abr	May	Jun	Jul	Ago	Sep	Oct	Nov	Dic	Ene	Feb	Mar
<b>Q.2025-2026</b>	13.9	17.4	14.1	12.9	26.0	34.7	46.2	41.4	22.4	19.1	16.3	17.4
<b>Q.2024-2025</b>	23.3	16.5	53.9	39.2	44.0	44.7	96.4	82.2	60.2	34.7	24.0	15.6
<b>Q.Promedio*</b>	20.4	32.9	55.2	52.6	55.4	56.5	64.8	87.0	79.2	52.5	36.1	23.8
<b>Q.Min.Mes*</b>	6.6	5.2	13.2	14.5	16.4	19.4	23.5	26.4	17.2	14.9	10.1	8.3

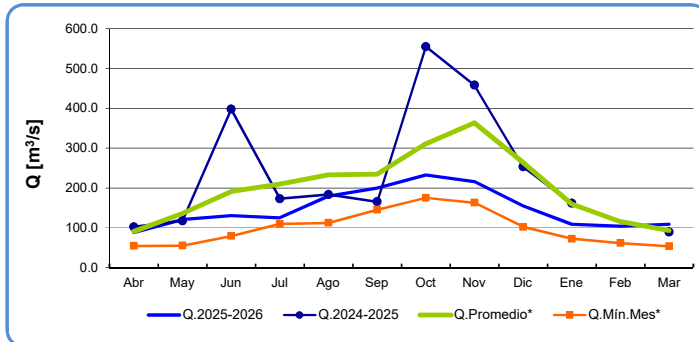
Río Claro en Rauquén



	Abr	May	Jun	Jul	Ago	Sep	Oct	Nov	Dic	Ene	Feb	Mar
<b>Q.2025-2026</b>	44.1	54.2	96.0	57.7	108.7	74.8	77.0	49.5	32.6	(*)	23.8	49.8
<b>Q.2024-2025</b>	47.3	48.7	227.4	48.6	102.8	78.5	94.1	63.9	42.5	26.0	28.4	34.3
<b>Q.Promedio*</b>	43.1	73.6	149.7	154.5	130.5	101.1	81.1	68.6	51.2	32.4	29.5	33.2
<b>Q.Min.Mes*</b>	20.1	30.2	44.3	42.8	45.7	36.3	32.6	38.0	24.5	16.6	15.5	16.9

(\*) Falla de sensor

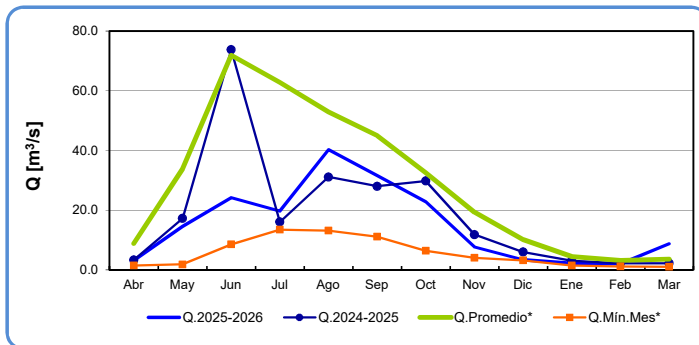
Río Maule en Armerillo (Reg.Nat.)



	Abr	May	Jun	Jul	Ago	Sep	Oct	Nov	Dic	Ene	Feb	Mar
<b>Q.2025-2026</b>	87.4	121.0	130.4	125.2	179.4	199.8	232.2	215.6	154.8	108.8	104.3	108.99
<b>Q.2024-2025</b>	102.0	117.5	397.4	173.0	183.3	165.1	554.7	457.7	253.0	161.0	(*)	89.2
<b>Q.Promedio*</b>	90.5	136.3	191.1	209.5	233.0	233.9	310.2	363.7	264.2	159.6	115.3	92.7
<b>Q.Min.Mes*</b>	54.1	55.3	79.0	109.3	112.0	145.0	174.9	162.7	102.1	72.3	61.4	53.2

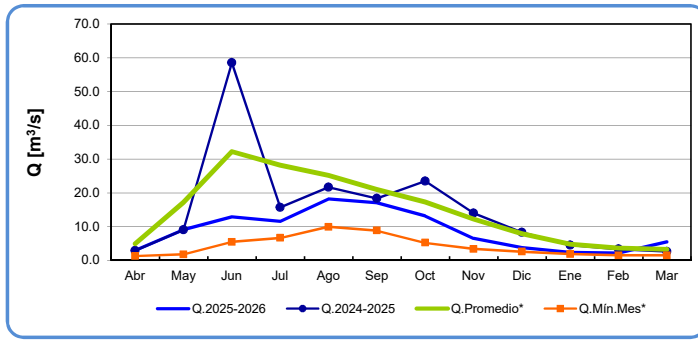
(\*) Cauce desviado por obras de mantención

Río Perquillauquén en San Manuel



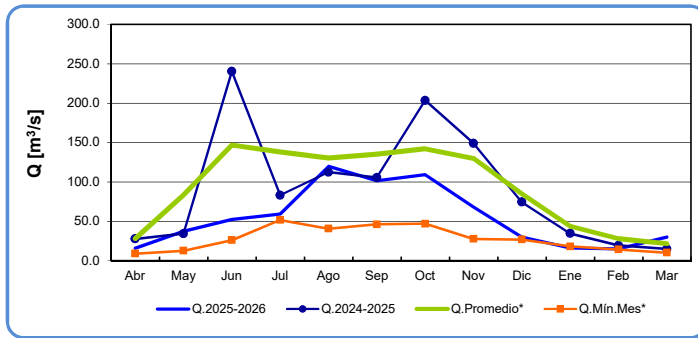
	Abr	May	Jun	Jul	Ago	Sep	Oct	Nov	Dic	Ene	Feb	Mar
<b>Q.2025-2026</b>	3.2	14.5	24.2	19.6	40.2	31.5	22.8	7.7	3.40	2.22	2.1	8.8
<b>Q.2024-2025</b>	3.3	17.2	73.7	16.0	31.1	28.0	29.7	11.8	6.0	3.1	2.2	2.2
<b>Q.Promedio*</b>	8.9	33.8	71.9	62.7	52.9	45.0	32.5	19.4	10.1	4.5	3.2	3.6
<b>Q.Min.Mes*</b>	1.5	1.8	8.5	13.5	13.1	11.1	6.3	4.1	3.2	1.5	1.2	1.0

Río Diguillín en San Lorenzo (Atacalco)



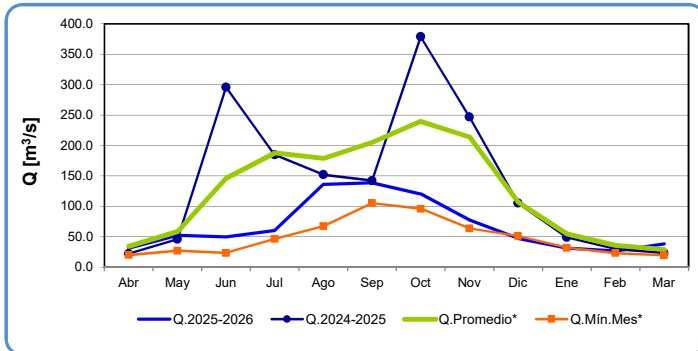
	Abr	May	Jun	Jul	Ago	Sep	Oct	Nov	Dic	Ene	Feb	Mar
<b>Q. 2025-2026</b>	3.0	9.0	12.9	11.5	18.2	17.0	13.1	6.5	3.7	2.3	2.1	5.5
<b>Q. 2024-2025</b>	2.9	9.0	58.5	15.6	21.7	18.3	23.4	14.0	8.3	4.5	3.3	2.6
<b>Q.Promedio*</b>	4.9	17.1	32.2	28.2	25.2	21.0	17.3	12.2	7.9	4.8	3.7	3.2
<b>Q.Min.Mes*</b>	1.2	1.7	5.4	6.6	9.9	8.8	5.2	3.3	2.5	1.9	1.4	1.5

Río Ñuble en San Fabián



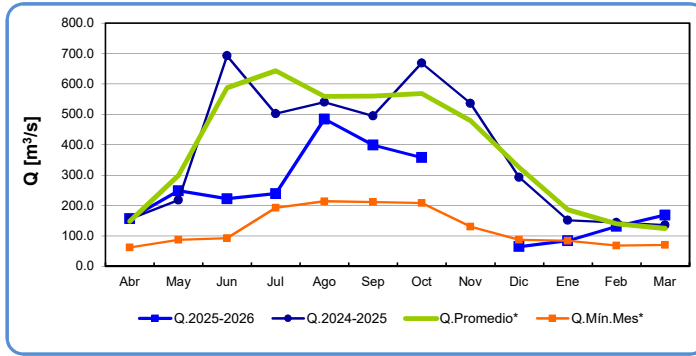
	Abr	May	Jun	Jul	Ago	Sep	Oct	Nov	Dic	Ene	Feb	Mar
<b>Q. 2025-2026</b>	15.7	37.4	52.2	59.1	119.7	101.6	109.1	68.1	29.9	16.3	14.9	29.8
<b>Q. 2024-2025</b>	27.5	34.4	240.4	83.1	112.4	105.5	203.5	148.9	74.4	34.6	19.2	14.9
<b>Q.Promedio*</b>	27.8	83.2	146.8	138.1	130.3	135.1	142.2	130.0	84.8	43.9	27.8	21.5
<b>Q.Min.Mes*</b>	8.9	12.5	26.0	51.5	40.6	46.1	47.0	27.7	26.9	18.0	14.1	10.2

Río Biobío en Llanquén



	Abr	May	Jun	Jul	Ago	Sep	Oct	Nov	Dic	Ene	Feb	Mar
<b>Q. 2025-2026</b>	31.2	52.6	49.7	60.2	136.0	138.6	120.2	77.0	47.1	31.5	26.3	38.4
<b>Q. 2024-2025</b>	21.9	45.9	296.1	184.6	151.9	142.4	379.1	246.8	105.3	49.0	29.6	23.3
<b>Q.Promedio*</b>	34.1	58.2	146.1	187.6	178.7	205.3	239.6	214.0	106.9	54.4	35.6	28.7
<b>Q.Min.Mes*</b>	19.7	27.0	23.3	46.1	67.2	105.2	96.0	63.7	50.8	31.8	22.9	19.5

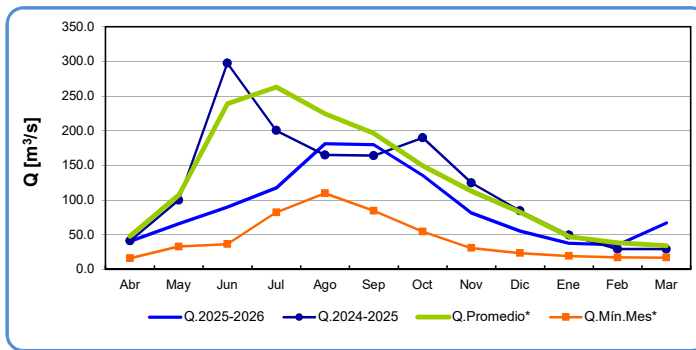
Río Biobío en Rucalhue



	Abr	May	Jun	Jul	Ago	Sep	Oct	Nov	Dic	Ene	Feb	Mar
<b>Q.2025-2026</b>	156.8	248.2	222.5	239.3	484.9	398.9	357.7	(*)	65.0	83.9	132.0	168.4
<b>Q.2024-2025</b>	156.0	218.3	692.7	502.4	540.1	494.4	668.5	535.8	292.9	151.3	144.1	135.8
<b>Q.Promedio*</b>	148.2	299.0	587.1	643.6	559.4	560.4	568.4	478.8	325.0	186.8	139.8	124.6
<b>Q.Min.Mes*</b>	61.9	87.3	92.1	192.5	214.0	211.5	208.1	130.8	87.1	84.0	68.6	70.8

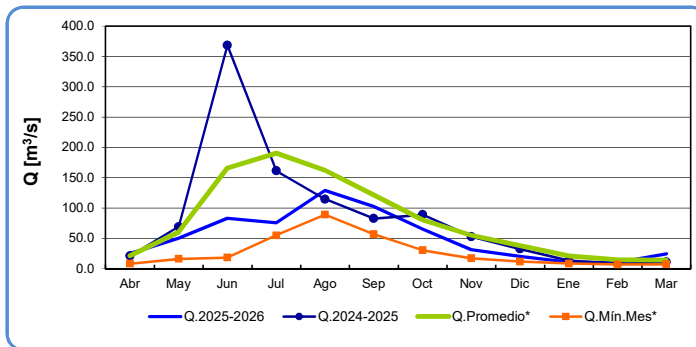
(\*) Problemas en la configuración de equipos (Trama de datos)

Río Cautín en Cajón



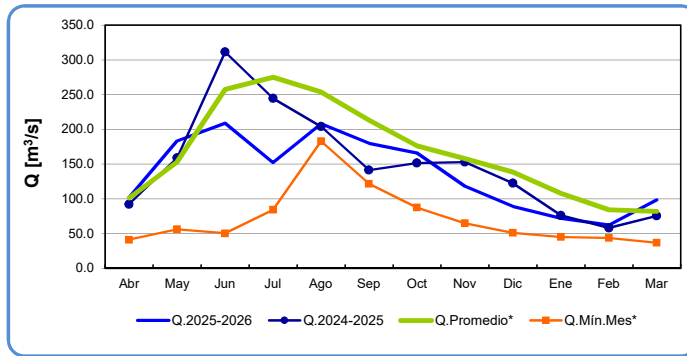
	Abr	May	Jun	Jul	Ago	Sep	Oct	Nov	Dic	Ene	Feb	Mar
<b>Q.2025-2026</b>	40.5	66.0	90.0	117.6	181.3	179.9	135.6	81.3	55.2	37.7	35.3	67.2
<b>Q.2024-2025</b>	41.0	99.8	297.5	200.2	165.0	163.9	190.0	124.7	84.4	49.4	29.3	29.3
<b>Q.Promedio*</b>	47.9	106.9	239.1	262.9	224.4	196.3	149.6	113.1	82.4	47.3	38.5	34.1
<b>Q.Min.Mes*</b>	16.1	32.8	36.3	82.3	109.7	84.7	54.7	30.8	23.4	19.3	17.3	17.1

Río Cruces en Rucaco



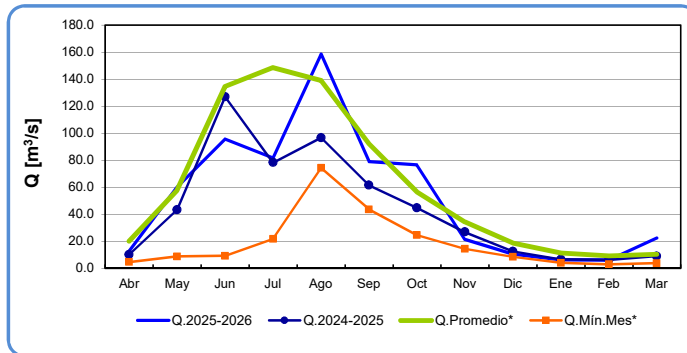
	Abr	May	Jun	Jul	Ago	Sep	Oct	Nov	Dic	Ene	Feb	Mar
<b>Q.2025-2026</b>	24.9	50.4	83.2	75.8	129.0	102.6	65.4	31.6	20.5	11.0	10.2	24.5
<b>Q.2024-2025</b>	21.2	69.4	368.3	161.3	114.8	82.9	89.2	52.9	32.7	13.6	8.4	11.2
<b>Q.Promedio*</b>	21.7	60.4	165.9	190.5	162.5	121.57	80.5	55.1	37.7	21.1	14.5	14.1
<b>Q.Min.Mes*</b>	8.3	16.5	18.5	55.0	89.1	56.9	30.7	17.5	11.9	8.7	7.1	7.2

Río Pilmaiquén en San Pablo



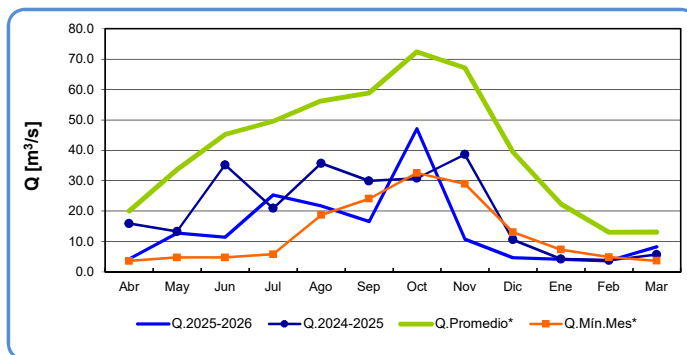
	Abr	May	Jun	Jul	Ago	Sep	Oct	Nov	Dic	Ene	Feb	Mar
<b>Q.2025-2026</b>	102.4	183.5	208.9	152.3	208.0	180.1	166.3	118.2	89.5	72.2	62.2	98.4
<b>Q.2024-2025</b>	92.3	159.0	311.4	244.7	204.1	141.5	151.6	153.0	122.5	76.2	58.2	75.5
<b>Q.Promedio*</b>	101.1	153.5	257.7	275.0	253.9	213.1	176.3	157.9	138.7	108.2	84.4	82.1
<b>Q.Min.Mes*</b>	41.2	56.3	50.4	84.2	182.9	121.7	87.3	64.8	51.3	44.9	43.8	36.9

Río Negro en Chahuilco



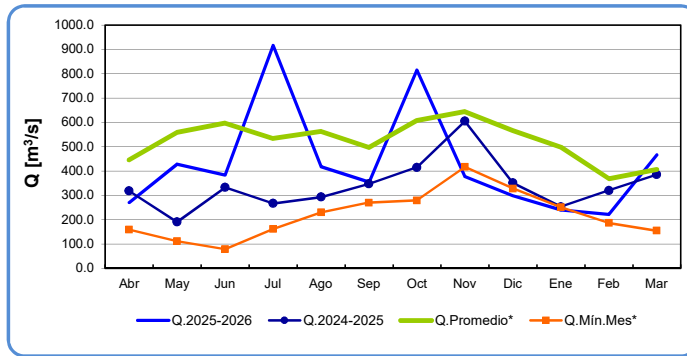
	Abr	May	Jun	Jul	Ago	Sep	Oct	Nov	Dic	Ene	Feb	Mar
<b>Q.2025-2026</b>	12.9	60.1	95.9	81.9	158.6	79.0	76.7	21.4	10.5	6.3	6.1	22.7
<b>Q.2024-2025</b>	10.3	43.5	127.1	78.3	96.6	61.5	44.8	26.9	12.6	6.6	6.3	9.0
<b>Q.Promedio*</b>	20.2	57.7	134.7	148.6	139.0	92.1	56.7	34.3	18.7	11.3	9.3	10.4
<b>Q.Min.Mes*</b>	4.6	8.7	9.2	21.7	74.3	43.7	24.7	14.4	8.6	4.1	3.0	3.9

Río Cisnes ante junta Río Moro



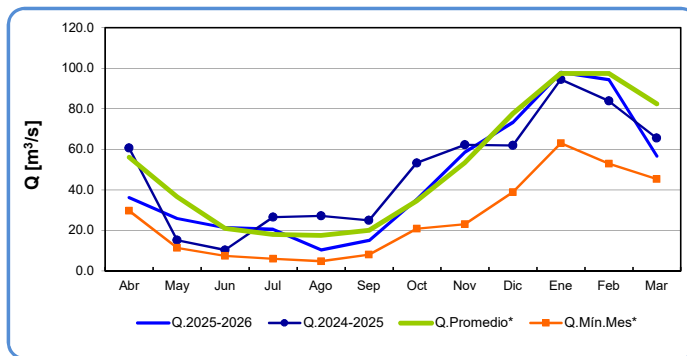
	Abr	May	Jun	Jul	Ago	Sep	Oct	Nov	Dic	Ene	Feb	Mar
<b>Q.2025-2026</b>	4.2	12.8	11.4	25.3	21.7	16.6	47.1	10.8	4.7	4.1	3.7	8.2
<b>Q.2024-2025</b>	15.9	13.3	35.2	20.9	35.7	29.9	30.8	38.6	10.6	4.2	3.8	5.7
<b>Q.Promedio*</b>	20.1	33.6	45.2	49.6	56.3	58.9	72.4	67.1	39.4	22.4	13.0	13.1
<b>Q.Min.Mes*</b>	3.6	4.8	4.8	5.8	18.7	24.1	32.5	28.9	13.1	7.3	4.8	3.6

Río Aysén en Puerto Aysén



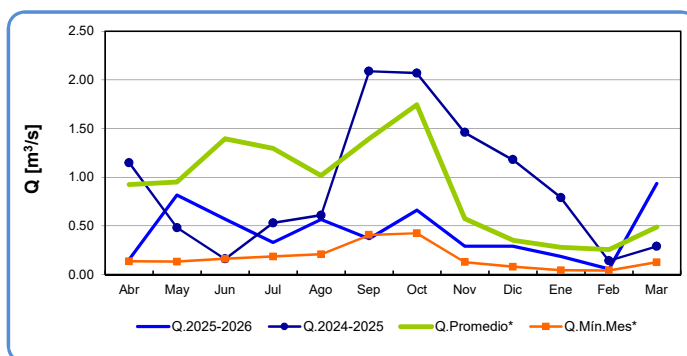
	Abr	May	Jun	Jul	Ago	Sep	Oct	Nov	Dic	Ene	Feb	Mar
<b>Q. 2025-2026</b>	270.9	428.5	384.4	917.0	417.9	354.5	816.0	377.9	297.8	240.2	221.7	466.7
<b>Q. 2024-2025</b>	318.4	190.7	332.5	267.0	293.0	347.0	415.0	605.0	351.5	253.0	320.4	385.6
<b>Q.Promedio*</b>	446.3	559.2	596.8	534.6	563.5	497.4	607.5	644.7	567.0	499.0	369.0	405.7
<b>Q.Min.Mes*</b>	158.9	111.8	79.1	161.6	229.9	270.3	279.5	416.6	328.1	250.9	186.7	154.8

Río Paine en Parque Nacional 2



	Abr	May	Jun	Jul	Ago	Sep	Oct	Nov	Dic	Ene	Feb	Mar
<b>Q. 2025-2026</b>	36.2	25.9	21.3	20.5	10.4	14.9	35.4	58.5	73.2	98.0	94.4	56.6
<b>Q. 2024-2025</b>	60.6	15.2	10.3	26.5	27.1	24.9	53.3	62.3	61.9	94.5	83.9	65.6
<b>Q.Promedio*</b>	56.0	36.7	20.9	18.0	17.5	20.0	34.6	53.3	77.7	97.5	97.4	82.5
<b>Q.Min.Mes*</b>	29.7	11.3	7.5	6.0	4.8	8.0	20.8	23.1	38.9	63.0	52.9	45.4

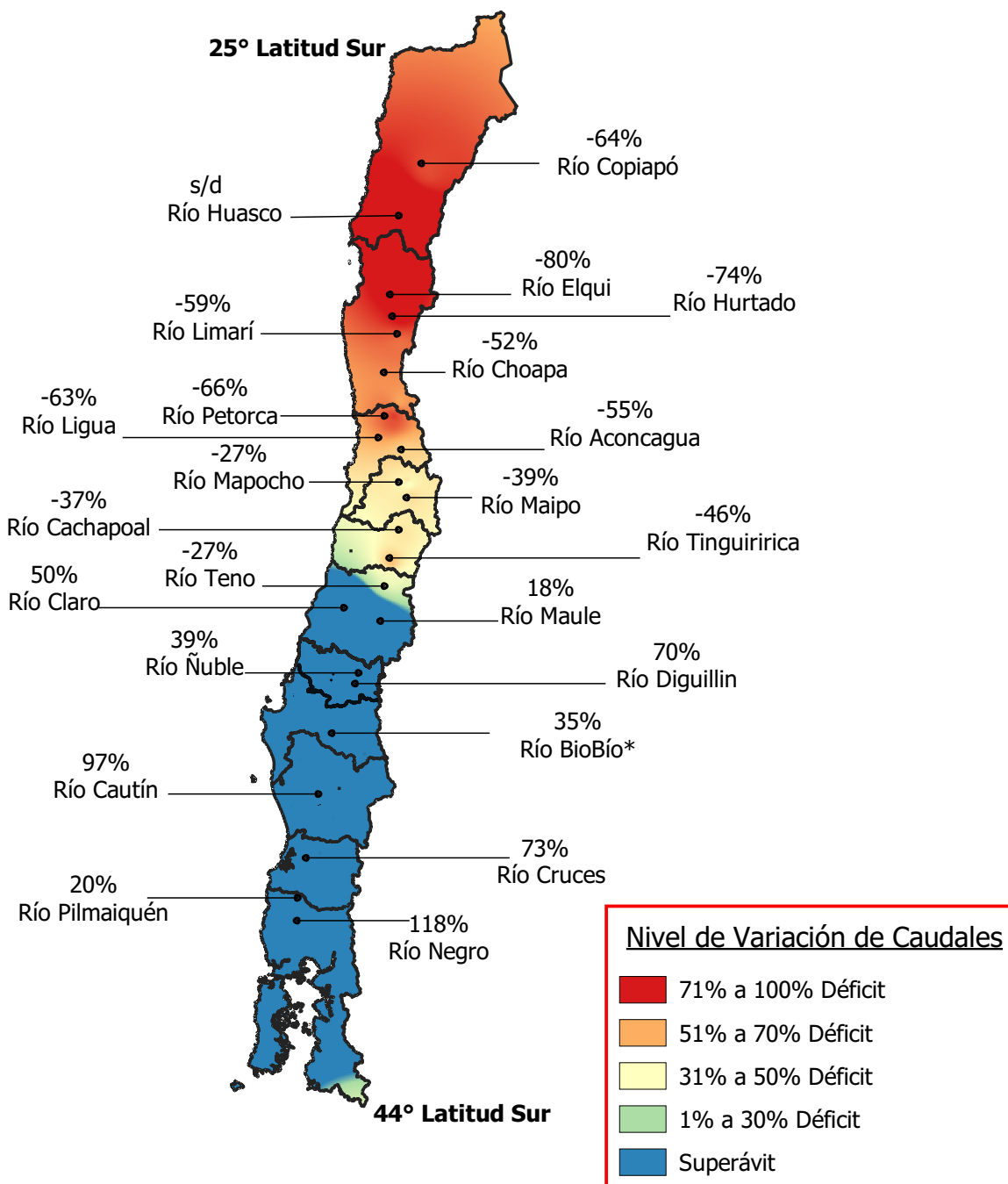
Río Las Minas en B.T. Sendos



	Abr	May	Jun	Jul	Ago	Sep	Oct	Nov	Dic	Ene	Feb	Mar
<b>Q. 2025-2026</b>	0.15	0.82	0.57	0.33	0.57	0.37	0.66	0.29	0.29	0.19	0.06	0.94
<b>Q. 2024-2025</b>	1.15	0.48	0.16	0.53	0.61	2.09	2.07	1.46	1.18	0.79	0.14	0.29
<b>Q.Promedio*</b>	0.93	0.95	1.40	1.30	1.02	1.40	1.75	0.57	0.35	0.28	0.26	0.49
<b>Q.Min.Mes*</b>	0.14	0.13	0.16	0.18	0.21	0.41	0.42	0.13	0.08	0.04	0.04	0.12

\* Caudales Promedio y Mínimos Mensuales del período 1991 - 2020

**Mapa de Variación de Caudales para el mes de marzo de 2026 con respecto al promedio histórico del mismo mes en el período 1991-2020.**



(\*) Estación Fluviométrica Río BioBío en Rucalhue se encuentra regulada en su medición por la descarga de caudales provenientes desde una serie de embalses ubicados a en distintos tramos del río aguas arriba. Ralco, Pangué y Angostura (desde aguas arriba hacia aguas abajo)

## 2.3 EMBALSES

**Tabla 3**  
**Volúmenes Almacenados**  
Al 31 de marzo de 2026  
(mill-m<sup>3</sup>)

EMBALSE	REGIÓN	CUENCA	CAPACIDAD	PROMEDIO HISTÓRICO MENSUAL	VOL. ACTUAL VS CAPACIDAD (%)	MARZO		USO PRINCIPAL
						2026	2025	
Conchi	Antofagasta	Loa	22	15	79%	17.5	20.3	Riego
Lautaro	Atacama	Copiapó	26	8	8%	2.1	3.9	Riego
Santa Juana	Atacama	Huasco	166	119	53%	88.2	95.0	Riego
La Laguna	Coquimbo	Elqui	38	27	25%	9.6	15.3	Riego
Puclaro	Coquimbo	Elqui	209	134	13%	27.0	30.8	Riego
Recoleta (++)	Coquimbo	Limarí	100	57	12%	12.0	13.7	Riego
La Paloma (+)	Coquimbo	Limarí	750	376	5%	40.8	52.0	Riego
Cogotí	Coquimbo	Limarí	156	60	14%	21.8	38.6	Riego
Culimo	Coquimbo	Quillimarí	10	2	40%	4.0	5.1	Riego
El Bato	Coquimbo	Choapa	26	18	67%	17.0	21.6	Riego
Corrales	Coquimbo	Choapa	50	32	63%	31.3	43.7	Riego
Aromos	Valparaíso	Aconcagua	35	22	59%	20.5	24.8	Agua Potable
Peñuelas	Valparaíso	Peñuelas	95	13	7%	6.3	8.8	Agua Potable
El Yeso	Metropolit.	Maipo	220	206	81%	177.3	207.1	Agua Potable
Convento Viejo	O'Higgins	Rapel	237	134	39%	93.0	93.6	Riego
Rapel	O'Higgins	Rapel	695	503	69%	480.0	497.1	Generación
Colbún	Maule	Maule	1544	981	60%	924.7	979.1	Generación
Lag. Maule (#)	Maule	Maule	1359	654	49%	670.0	780.0	Generación y Riego
Bullileo	Maule	Maule	60	2	2%	1.0	0.0	Riego
Digua	Maule	Maule	225	13	10%	22.8	20.4	Riego
Tutuvén	Maule	Maule	22	3	5%	1.0	1.8	Riego
Coihueco	Ñuble	Itata	29	5	33%	9.6	4.9	Riego
Lago Laja	Biobío	Biobío	5582	1654	19%	1071.2	1872.4	Generación y Riego
Ralco	Biobío	Biobío	1174	505	62%	729.0	662.7	Generación
Pangué	Biobío	Biobío	83	72	88%	73.3	74.4	Generación

(+) Volumen del embalse Paloma en atención a la curva de almacenamiento del "Estudio Topobatimétrico y Análisis de Prolongación de la Vida útil del Embalse Paloma, Región de Coquimbo" desarrollado por la Dirección de Obras Hidráulicas el año 2016

(++) Capacidad máxima del embalse considerando peraltamiento de vertedero aprobado mediante Resolución DGA N°239, de 15 de febrero de 2021

(#) Volumen de Laguna del Maule en atención a la curva de almacenamiento del Estudio "Servicio levantamiento lidar, batimetría, topografía y radiofrecuencia embalse Laguna del Maule, Región del Maule", DOH 2022

**Tabla 4**  
**Resumen Anual**

EMBALSE	2025-2026											
	A	M	J	J	A	S	O	N	D	E	F	M
Conchi	20.0	20.3	20.9	21.5	21.4	21.0	20.5	19.7	19.1	19.0	17.9	17.5
Lautaro (*)	4.5	4.8	5.2	5.4	5.4	5.3	3.9	2.7	1.8	2.7	2.7	2.1
Santa Juana	97.5	98.2	105.8	110.5	117.0	118.9	117.2	113.5	108.0	102.3	93.7	88.2
La Laguna (**)	15.6	16.3	16.6	17.2	17.7	18.1	18.0	17.0	15.5	13.1	11.0	9.6
Puclaro (**)	31.6	33.1	35.9	39.3	44.6	46.5	45.3	42.1	38.2	33.9	30.2	27.0
Recoleta (***)	13.7	15.3	16.5	18.0	21.6	22.2	21.2	20.5	19.1	16.5	14.1	12.0
La Paloma	45.8	46.6	52.4	57.5	73.8	82.9	86.1	81.9	71.5	60.4	50.0	40.8
Cogotí	37.0	35.1	34.9	35.2	38.3	39.0	39.0	36.4	32.8	29.6	25.7	21.8
Culimo	4.9	4.8	4.8	4.9	5.0	5.2	5.2	5.2	4.8	4.7	4.3	4.0
El Bato	21.2	21.4	22.2	23.3	25.2	25.7	25.6	25.0	23.2	21.0	18.8	17.0
Corrales	41.4	40.2	40.0	40.6	43.7	47.2	50.2	49.2	45.3	40.5	37.5	31.3
Aromos	22.1	24.1	29.4	33.9	35.6	35.5	34.8	32.7	30.0	26.9	23.6	20.5
Peñuelas	8.3	8.2	8.8	10.5	10.6	10.4	9.8	9.1	8.4	7.6	7.0	6.3
El Yeso	187.8	183.2	181.0	180.5	185.6	185.3	185.9	187.2	196.8	204.4	194.7	177.3
Convento Viejo	95.2	139.6	201.2	210.9	206.6	214.2	207.9	199.1	169.9	122.7	87.8	93.0
Rapel	438.9	409.9	417.8	482.0	533.3	550.8	575.9	599.3	597.8	597.8	594.2	480.0
Colbún	840.2	781.2	611.1	591.4	833.6	1051.8	1226.9	1258.8	1164.7	1034.6	926.0	924.7
Lag. Maule (#)	759.1	743.1	731.1	746.1	765.4	782.0	803.0	827.7	808.8	717.6	675.6	670.0
Bullileo	2.2	6.0	14.7	21.5	39.8	51.7	60.1	59.7	46.3	21.4	1.4	1.0
Digua	9.5	30.6	73.2	118.2	190.1	224.3	220.9	178.3	119.0	55.5	18.2	22.8
Tutuvén	1.2	1.6	3.6	4.7	7.5	8.4	8.8	7.5	5.5	3.6	1.9	1.0
Coihueco	3.2	3.3	10.2	21.4	27.1	28.5	29.6	28.5	23.0	15.6	9.1	9.6
Lago Laja (&)	1762.2	1605.5	1451.9	1376.3	1457.0	1528.5	1605.5	1616.7	1482.6	1295.3	1134.8	1071.2
Ralco	534.4	433.6	410.1	459.1	467.0	493.6	528.5	766.5	895.2	862.4	748.8	729.0
Pangué	70.9	72.8	69.7	75.9	71.3	78.1	71.6	78.1	69.5	79.3	80.2	73.3

(\*) : Curva corregida por embanque

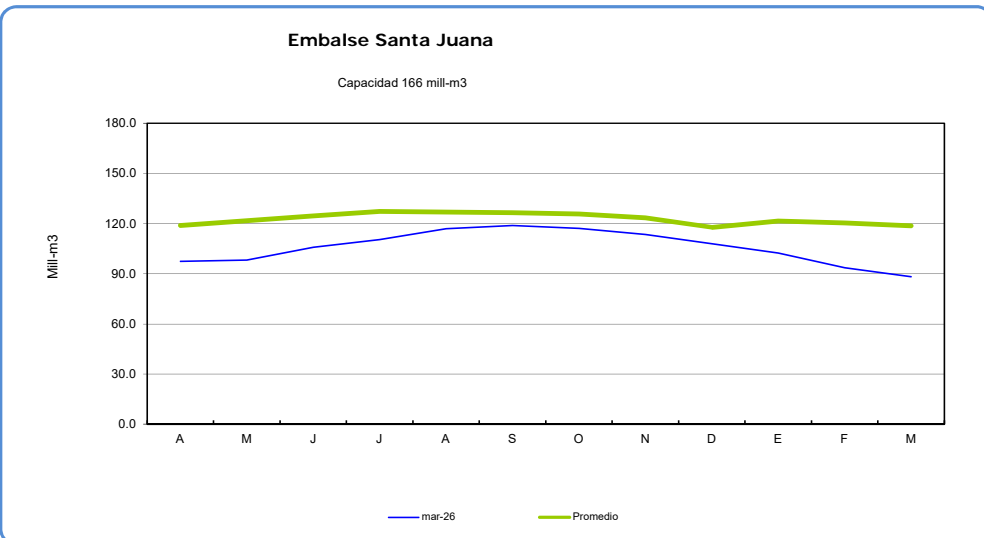
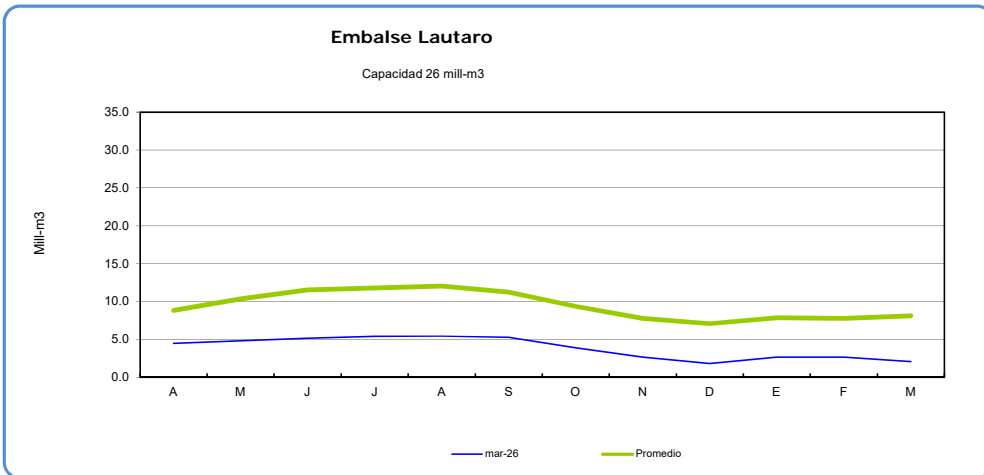
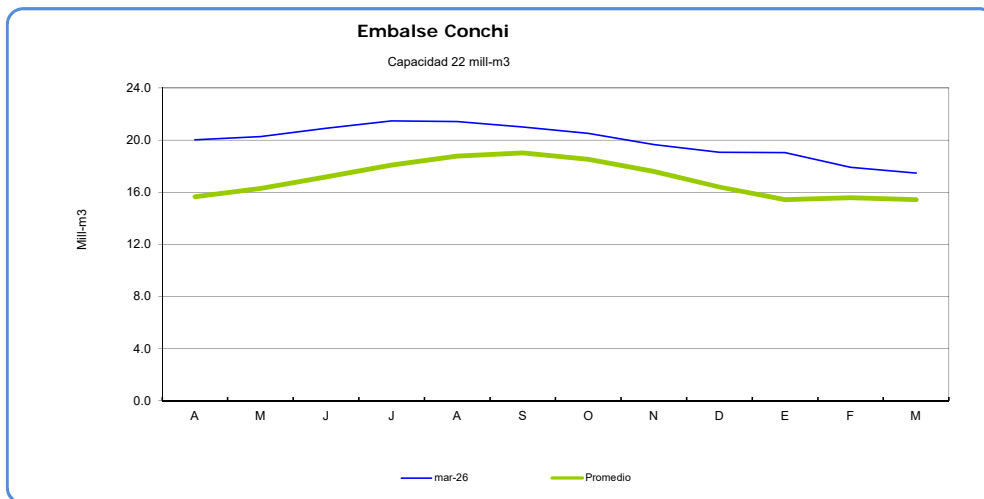
(\*\*): Se realiza ajuste de Capacidad Máxima.

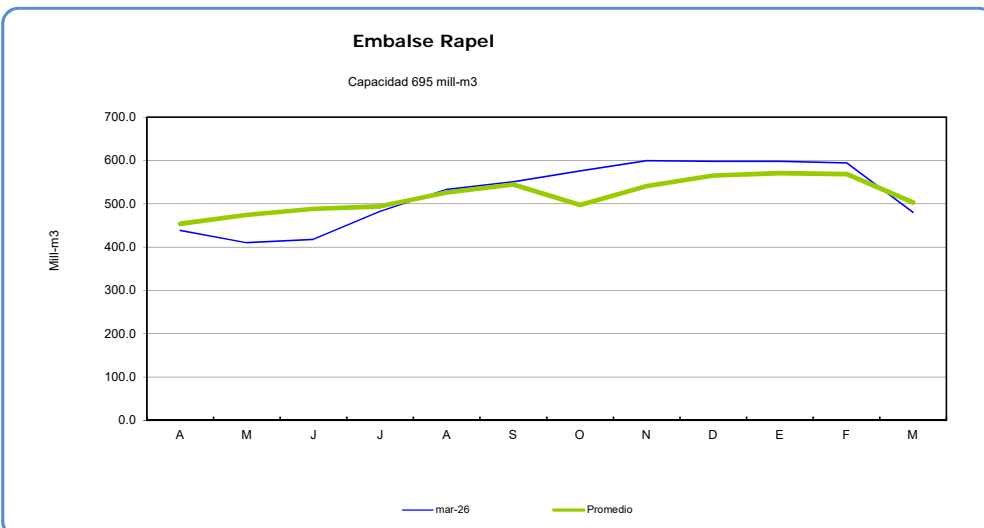
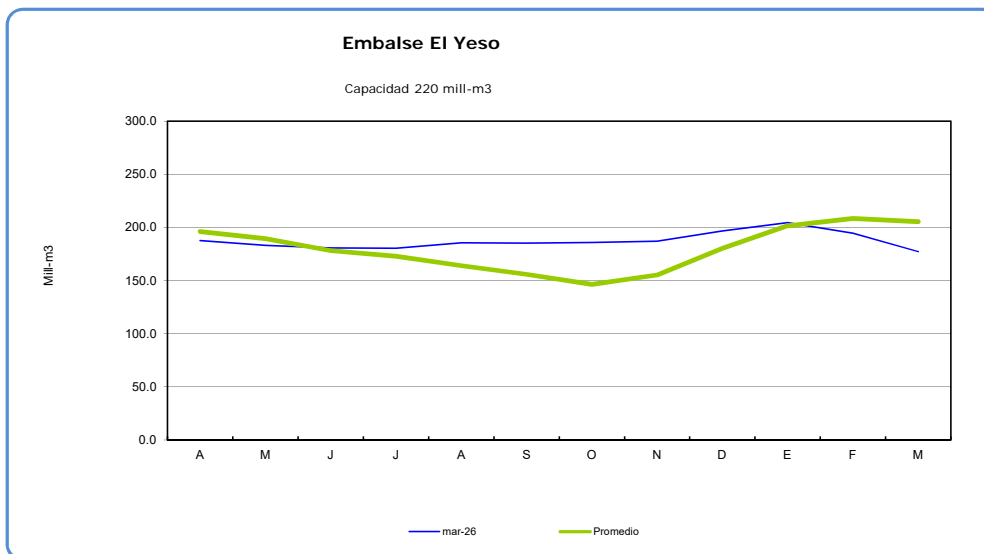
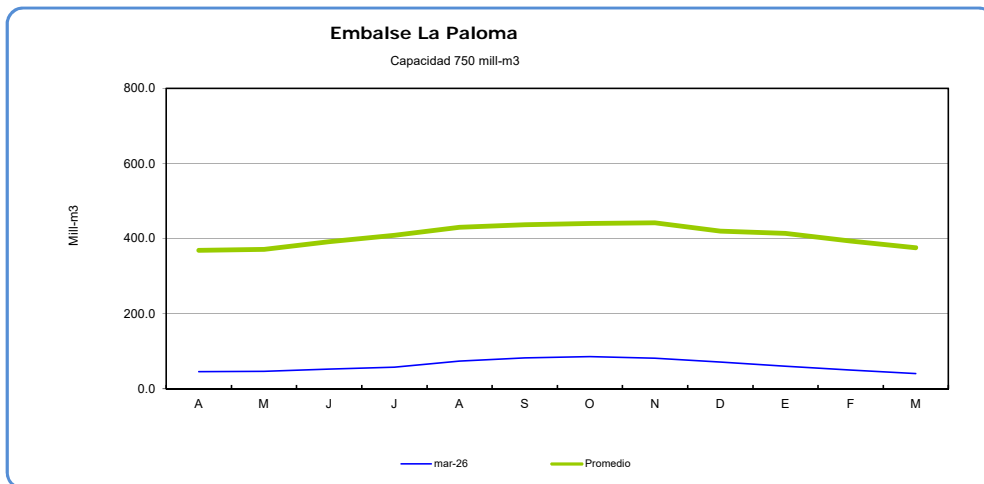
(&) : Volumen sobre cota 1300 msnm

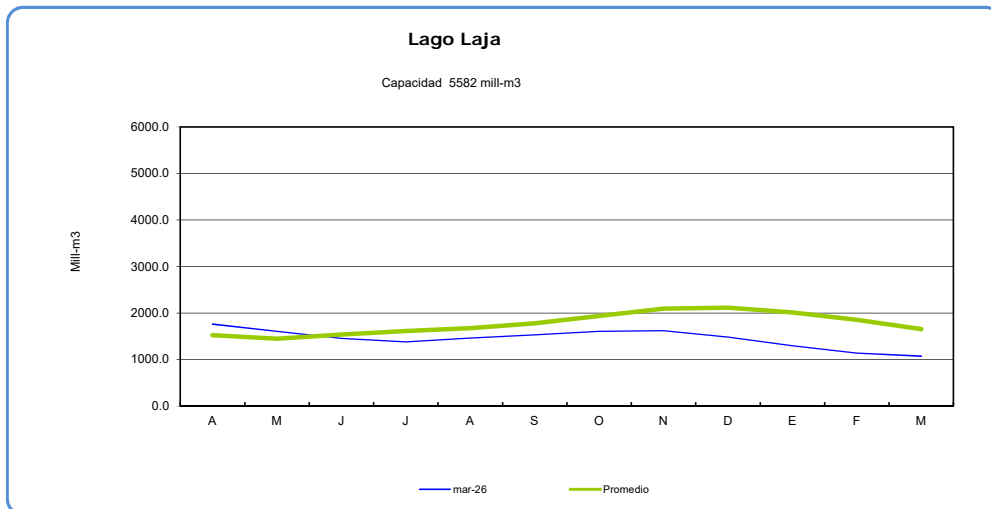
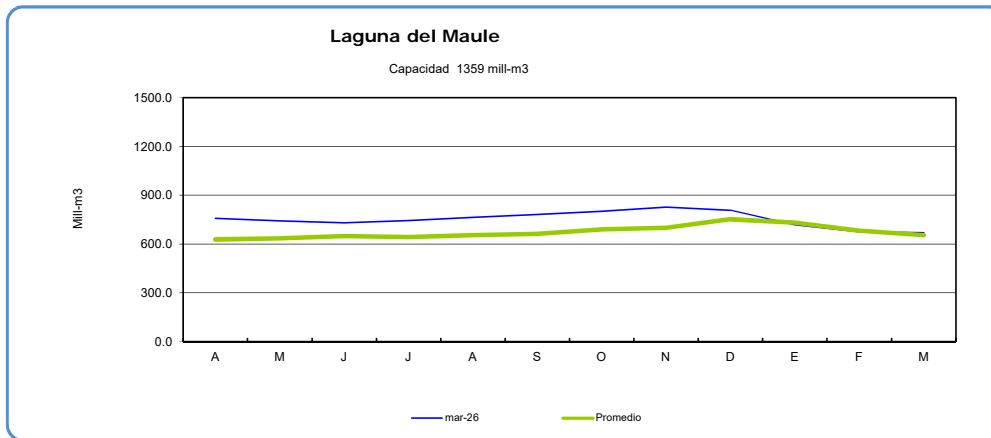
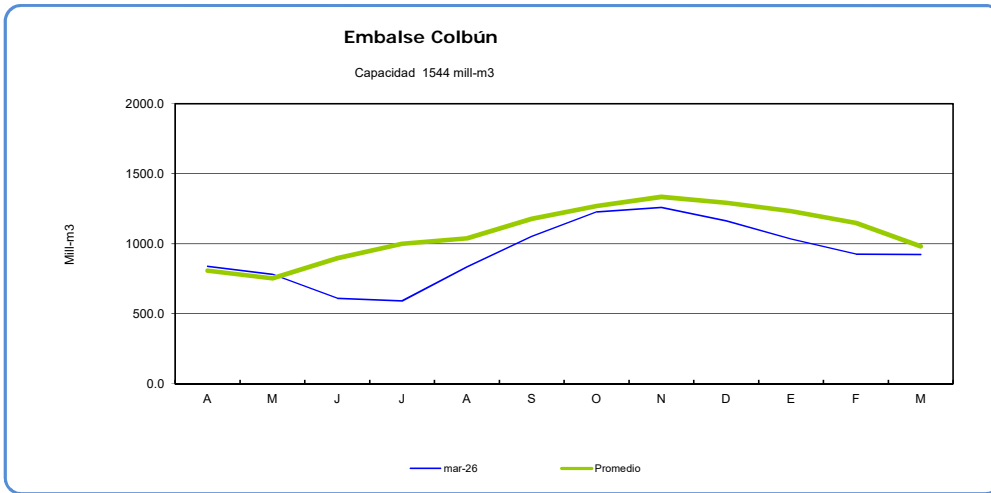
(\*\*\*) : Capacidad máxima del embalse considerando peraltamiento.

(+) Volumen del embalse Paloma en atención a la curva de almacenamiento del "Estudio Topobatimétrico y Análisis de Prolongación de la Vida útil del Embalse Paloma, Región de Coquimbo" desarrollado por la Dirección de Obras Hidráulicas

(#) Volumen de Laguna del Maule en atención a la curva de almacenamiento del Estudio "Servicio levantamiento lidar, batimetría, topografía y radiofrecuencia embalse Laguna del Maule, Región del Maule", DOH 2022

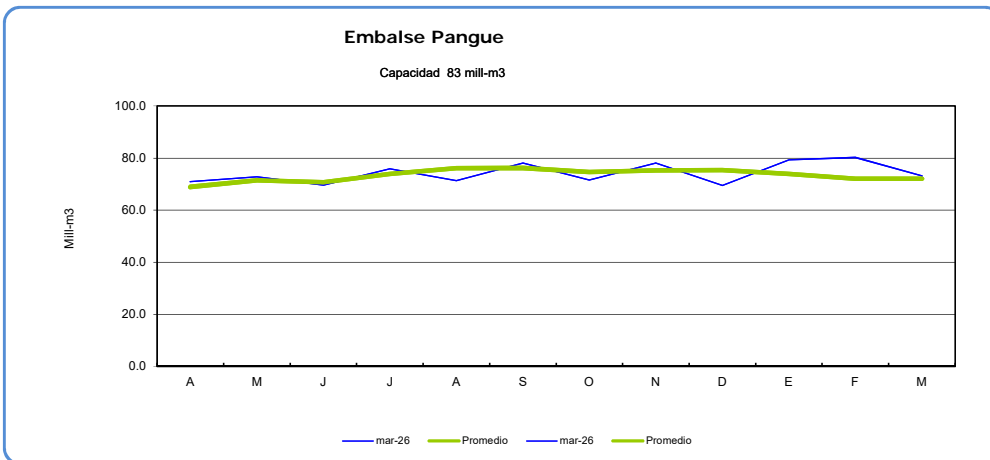
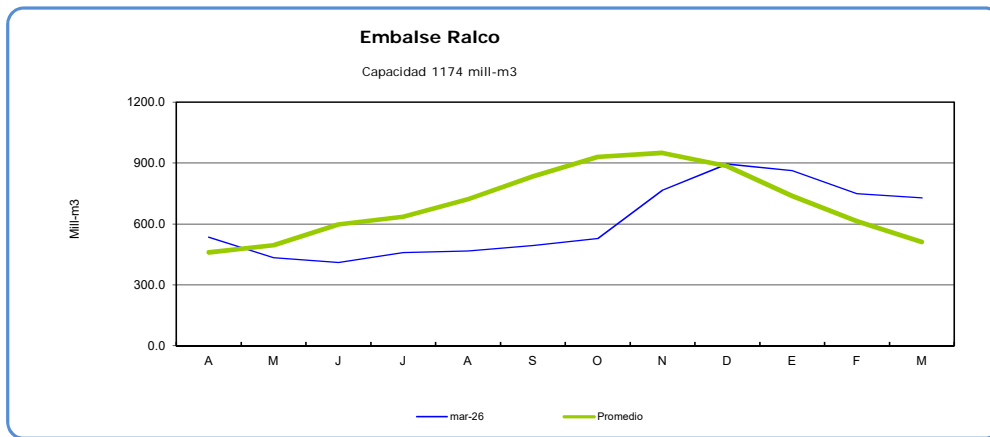








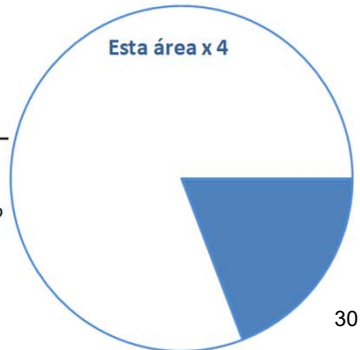
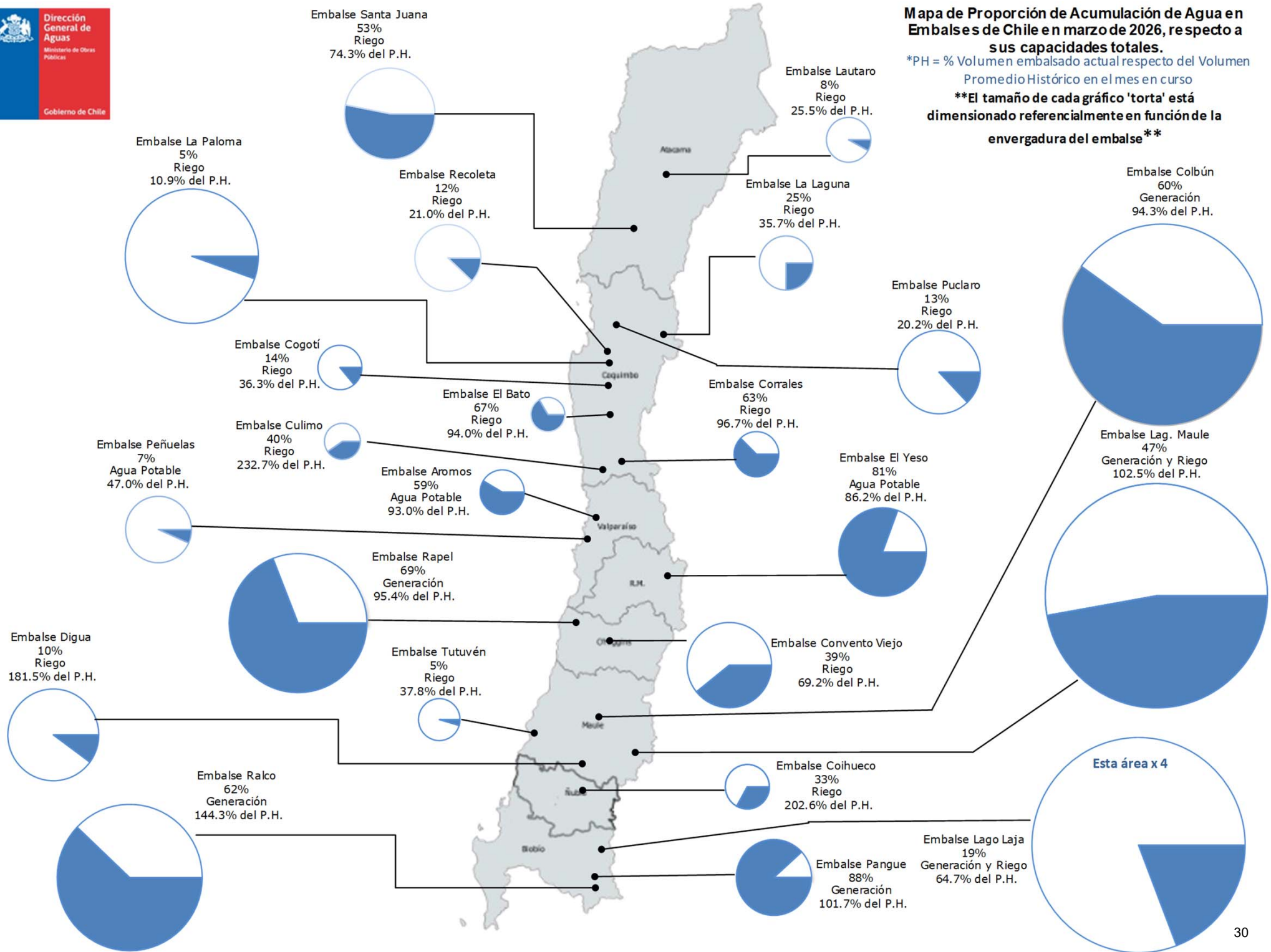
mar-26



# Mapa de Proporción de Acumulación de Agua en Embalses de Chile en marzo de 2026, respecto a sus capacidades totales.

\*PH = % Volumen embalsado actual respecto del Volumen Promedio Histórico en el mes en curso

\*\*El tamaño de cada gráfico 'torta' está dimensionado referencialmente en función de la envergadura del embalse\*\*



## 2.4 Aguas Subterráneas

### Niveles medidos en pozos

\*Gráficos de últimos cinco años.

